

جيومورفولوجية أودية المنطقة المحصورة ما بين رأس

علم الروم شرقاً وصولاً لرأس جرجوب غرباً

صلاح حسن محمد أحمد

مقدمة

تقع منطقة الدراسة بمحاذاة ساحل البحر المتوسط، وتقع إلى الغرب من مدينة الإسكندرية بحوالي ٣٠٠ كم، وإلى الشرق من الحدود الليبية بحوالي ١٨٧ كم، وتكون محصورة بين رأس علم الروم شرقاً وصولاً لرأس جرجوب المجاور لمنطقة سيدي براني، كما تبعد عن مدينة القاهرة بحوالي ٥٠٠ كم، وتمتد نحو الداخل لمسافة ٤٠ كم من ساحل البحر، ويربطها طريق يمتد نحو الصحراء الغربية حتى واحة سيوة التي تقع على بعد ٣٠٠ كم إلى الجنوب، وتقع منطقة الدراسة بين خطي طول ٢٦°٣٠ - ٢٦°٢٢ شرقاً، وبين دائرتي عرض ٣١ - ٣٠ شمالاً، وتعد جزءاً لا يتجزأ من الصحراء الغربية، وهي بذلك تقع على هامش الإقليم الصحراوي (انظر للشكل رقم ١).

أهداف الدراسة

- ١- تخصص الباحث في الجغرافيا الطبيعية خاصة الأشكال الأرضية وما يرتبط بها من موارد، وهذا البحث هو استمرار لهذا الاتجاه.
- ٢- التحليل المورفومتري لشبكة التصريف، ذلك من خلال استخدام الخرائط الطبوغرافية والصور الجوية بالإضافة إلى إجراء بعض القياسات الحقلية، وتحليل عينات تربة من مواقع مختلفة تحليلاً ميكانيكياً بهدف تقدير معدل الجريان السطحي.
- ٣- سهولة الحصول على المصادر اللازمة للموضوع من خرائط طبوغرافية، وصور جوية وسهولة الوصول لمنطقة الدراسة والمبيت فيها.
- ٤- ارتباط مناطق بطون الأودية بالمنطقة بوجود التربة الصالحة للزراعة والمياه الجوفية مما يسمح باستغلالها في الزراعة في المستقبل.

٥- دراسة قطاعات الأودية التي يمكن أن تقام عليها سدود لتخزين مياه المطر للانتفاع بها في الأنشطة الاقتصادية.

تساؤلات الدراسة

- ١- هل تعاني المنطقة من جفاف أو عجز مائي؟ ولماذا؟
- ٢- ما مساحة أحواض الأودية بمنطقة الدراسة؟
- ٣- ما هي الخصائص المورفومترية لهذه الأودية؟
- ٤- ما هو حجم الجريان السطحي بأحواض منطقة التجميع؟ ولماذا؟
- ٥- ما علاقة رواسب قيعان الأودية بالجريان السطحي والمياه تحت السطحية؟

مناهج الدراسة:

اعتمدت الدراسة على عدة مناهج هي:-

- ١- المنهج الموضوعي في دراسة توزيع الأودية وأهميتها.
- ٢- المنهج الإقليمي وهو أن هذا البحث يختص بدراسة الأودية في إقليم معين من مصر وهو الساحل الشمالي الغربي.
- ٣- المنهج التطبيقي وذلك لدراسة العلاقة بين الأودية وكمية المياه السطحية بالأودية، وكمية المياه تحت السطحية برواسب هذه الأودية.

كما اعتمدت الدراسة على عدة أساليب في تحليل المادة العلمية التي تم التوصل إليها وهي:-

- ١- الأسلوب الوصفي في وصف توزيع الأودية وخصائصها.
- ٢- الأسلوب الكمي في دراسة التحليل المورفومتري لشبكات وأحواض التصريف.
- ٣- الأسلوب المعلمي في تحليل عينات رواسب بطون الأودية والرواسب السطحية لعينات المراوح.

مصادر الدراسة

١- المصادر المكتوبة وتشتمل على الدراسات والأبحاث والتقارير المنشورة وغير المنشورة، والكتب الأصولية المتصلة بالبحث والواردة في قائمة المراجع.

٢- الخرائط

اعتمد الباحث على مجموعة من الخرائط، نذكر منها الخرائط الطبوغرافية لمنطقة مرسى مطروح مقياس رسم ١:١٠٠٠٠٠٠ و ١:٢٥٠٠٠٠، والخرائط الطبوغرافية لمنطقة نجيلة مقياس رسم ١:٢٥٠٠٠٠، والخرائط الجيولوجية للمنطقة مقياس رسم ١:٢٥٠٠٠٠، والصور الجوية مقياس رسم ١:٦٠٠٠٠٠.

٣- الدراسة الميدانية :- (٥ نوفمبر - ٢ ديسمبر)

قام الباحث بالدراسة الميدانية مستخدماً أدوات الحقل الميداني في أواخر فصل الخريف عام ٢٠١٣، حيث شملت هذه الدراسة العديد من الأودية الجافة بالمنطقة، مما دعا الباحث أن يقيم هذه الفترة من السنة في مدينة مرسى مطروح وقرية نجيلة التي تبعد عن المدينة بحوالي ١٢٠ كم.

وشملت الدراسة أخذ عينات الرواسب من المجاري الدنيا والوسطى والعليا للأودية الجافة، وبعض العينات لتربة المراوح الفيضية، والوقوف على الظواهرات الجيومورفولوجية والتراكيب الجيولوجية، وتسجيل الملاحظات الخاصة بها من حيث الحجم والشكل والتوزيع، كذلك تعرف الباحث على الرواسب الأخرى كرواسب السبخات والرواسب الشاطئية من خلال المشاهدة والاستقراء.

٤- الدراسة العملية

قام الباحث بتحليل ٦٨ عينة رواسب، منها ٦٥ عينة من رواسب بطون الأودية الجافة، و٣ عينات من رواسب المراوح الفيضية تحليلاً ميكانيكياً بمعمل التربة بقسم الجغرافيا جامعة القاهرة.

٥- تحليل البيانات

استخدم الباحث الأسلوب الإحصائي وأساليب التقنيات الحديثة، ويتناول هذا البحث دراسة ما يلي:-

أولاً عوامل تشكيل سطح المنطقة

١- العوامل الجيولوجية

أ- التكوينات الجيولوجية تعد تكوينات عصر الميوسين في الزمن الجيولوجي الثالث أقدم التكوينات الجيولوجية بالمنطقة، وتنقسم تكوينات الميوسين إلى الميوسين الأسفل (تكوين مغره)، والميوسين الأوسط (تكوين مرمريكا)، كما تنتشر تكوينات الزمن الرابع في رواسب بطون الأودية والرواسب الساحلية وغيرها.

وقد قسم قرني (Korany 1975, p.151-153) تكوينات الميوسين حسب بيئات الترسيب إلى نوعين، أولها تكوينات طفلية أرسبت في شمال السهل الساحلي في بيئة بحرية أو مخرية أطلق عليها تكوينات أبو صبيحة، وثانيها تكوينات رملية أرسبت جنوب السهل الساحلي في بيئة بحرية أو مخرية أطلق عليها تكوينات مغره، كما قسم (قرني، ١٩٧٥، ص ١٥٣) تكوينات مرمريكا إلى وحدتين وحدة علوية من الحجر الجيري الكثير الفجوات، ثم الوحدات السفلية والمكونة من الصلصال والطفل الرملي، انظر للشكل رقم (٢)، وبهذا لا تشكل تكوينات الميوسين وتكوينات البليوسين الجيرية خزناً لمياه الأمطار إلا نادراً، (EL Shazly, 1964, p.64)

وفي عصر البليوستوسين في الزمن الجيولوجي الرابع تكون الحجر الجيري الكارديومي Cardium Li mestone، والحجر الجيري الوردي Pink Limestone، وتظهر هذه التكوينات على شكل أشرطة طولية موازية لخط الساحل، ولا تمثل مخزوناً لمياه الأمطار بالمنطقة، في حين يتبين أن مكون الحجر الجيري البويضي Oolithic Limestone يعد خزناً للمياه الجوفية بالمنطقة حيث يتكون بفعل عضوي ونتيجة للترسيب الكيميائي أيضاً، ويكون الحجر الجيري البطروخي سلاسل التلال بالمنطقة، كما يبدأ في الظهور في الجنوب عند بداية حافة الهضبة الميوسينية، (El Sanussi, 1968, p.45)

أما عن تكوينات عصر الهولوسين فهي تنتشر فوق معظم التكوينات الصخرية الأقدم بالمنطقة وهي القشرة الجيرية التي تغطي أسطح السلاسل الجيرية، والإرسابات الموضعية The Residual Deposits، فهي تنتشر على سطح الهضبة الميوسينية، خاصة في المناطق الجنوبية من المنطقة على شكل تربة مفككة رقيقة السمك، تكونت من الصخور البليوستوسينية عن طريق عمليات التجوية المختلفة في مكانها In Situ ولم تنقل بواسطة أي عامل من عوامل التعرية، كذلك الإرسابات الفيضية وهي نوعان أولها رواسب حشو الوادي

وهي رواسب فيضية في بطون أودية المنطقة، وثانيها الإرسابات الفيضية للمراوح الفيضية، كذلك الرواسب الشاطئية سواء الرملية أو الحصوية صورة رقم (١)، ورواسب السبخات واللاجونات. ومن خلال الدراسة الميدانية تبين للباحث مجموعتين من السبخات بمنطقة الدراسة، أولها سبخات منطقة علم الروم، وعددها خمس سبخات، والتي تبعد حوالي ٢ كم عن شاطئ العريشة، وتتراوح مساحتها ما بين ١ - ٢ كم^٢ تقريباً، اعتماداً على قياس أبعادها، ومن خلال معاينة رواسبها في الطبيعة تبين أن هذه الرواسب لومية تحتل برمال الشاطئ القريب من البحر، انظر للصورة رقم (٢)، والمجموعة الثانية مكونة من ثلاث سبخات أخرى بشرق منطقة القصر، والتي تبعد حوالي ٣ كم عن شاطئ البحر، وتتراوح مساحتها ما بين ٠,٥ - ١,٧ كم^٢ تقريباً، وتتميز رواسب السبخات بتفككها أو تماسكها تماسكاً طفيفاً، كما تتميز بحدائتها وغالباً ما تظهر القشور الملحية في بعض المواقع على هيئة زهرات وغطاء أبيض في معظم الأحيان، وذلك لاختلاط الأملاح والشوائب الحديدية القليلة الموجودة في الصخور الجيرية فيميل لونها للاحمرار، انظر للصورة رقم (٣) (صفي الدين، ١٩٦٦، ص ٢٥٠).

ب- البنية الجيولوجية

تأثرت المنطقة بأربعة التواءات وحيدة الجوانب *Monocline*، وهذه الالتواءات هي التواء رأس علم الروم، التواء رأس أم الرحم، التواء رأس أبو لاهو، والتواء رأس جرجوب، وهي تشرف على البحر مباشرةً، وتتجه محاورها جميعها صوب الشمال والشمال الشرقي، وقد تقطعت هذه الرؤوس بفعل التعرية البحرية مكونة الجروف والكهوف والمسلات البحرية على طول خط الشاطئ خاصة بمنطقة عجبية، انظر للصور أرقام (٤)، (٥)، وتعود نشأة هذه البنيات المحلية إلى الفترة الممتدة من عصر الميوسين إلى البلايوسين، وتكونت خطوط الصدوع تحت السطحية بالمنطقة في نهاية الأوليوسين، واستمر تكونها حتى أوائل عصر البليوسين، (*El Shazly, 1969, p. 39*)

ومن خلال الدراسة الميدانية يتبين مجموعة من الصدوع السطحية والفواصل والشقوق بجواف أودية منطقة الدراسة، وبالسلسلة الجيرية الساحلية المتاخمة للبحر، انظر للصورة رقم (٦).

ج- التطور الجيولوجي

تعرضت المنطقة لحركات أرضية في أواخر عصر الميوسين الأوسط، نتج عنها ارتفاع لطبقات الميوسين، وتشكلت هضبة مرمريكا الميوسينية، وانخفض مستوى مياه البحر المتوسط لحوالي ٤٠٠ متر عن المستوى الحالي، ومع بداية عصر البليوسين كان هناك ارتفاع تدريجي لمستوى البحر بالمقارنة يمكن أن نقول بأنه تجاوز المستوى الحالي (*R. Said, 1962, p. 4*)

حيث تعرضت المنطقة لفترتين مطر رئيسيتين، هما فترة المطر الأولى والتي تبدأ من البليوسين الأعلى وتمتد حتى البلايوسين الأسفل، حيث بلغت كمية الأمطار السنوية حوالي (٢٠٠ ملم) خلال البليوسين الأعلى، في

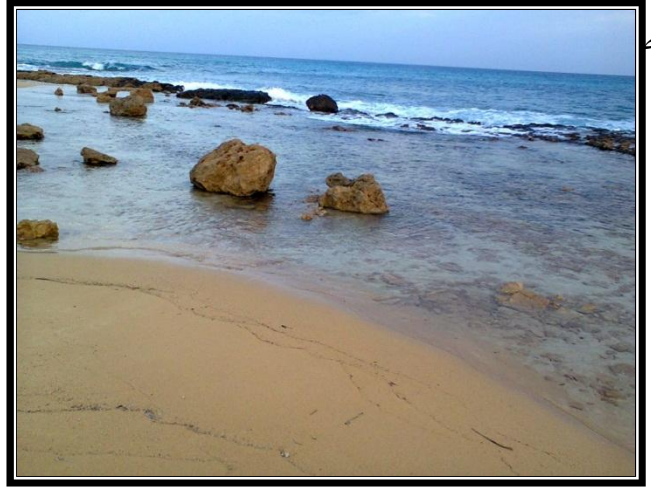
جيومورفولوجية أودية المنطقة المحصورة ما بين رأس علم الروم شرقاً وصولاً لرأس جرجوب غرباً

حين بلغت حوالي (٥٠٠ مللم) خلال البليو/بليوستوسين، و (٧٠٠ مللم) خلال البلايوستوسين الأسفل، وبلغت كمية الأمطار في الفترة الثانية حوالي (٨٠٠ مللم) في بداية البلايوستوسين الأعلى، ولكنها انخفضت مع نهاية الفترة لحوالي (٢٠٠ مللم) سنوياً (إمباي، ١٩٧٩، ص ١).

وخلال عصر الهولوسين كان المناخ جافاً وشبه جاف، فتكونت الإرسابات الشاطئية الرملية والحصوية، وتطورت القشرة الجيرية في الأجزاء الخارجية للصخور الجيرية، وتكونت المسيلات، واكتمل الشكل النهائي للمراوح الفيضية، وتكونت السهول الفيضية في إقليم منطقة الدراسة.



صورة رقم (٢) رواسب سبخة تبعد عن شاطئ العريشة بحوالي ٢ كم ومساحتها من ١-٢ كم تقريباً،



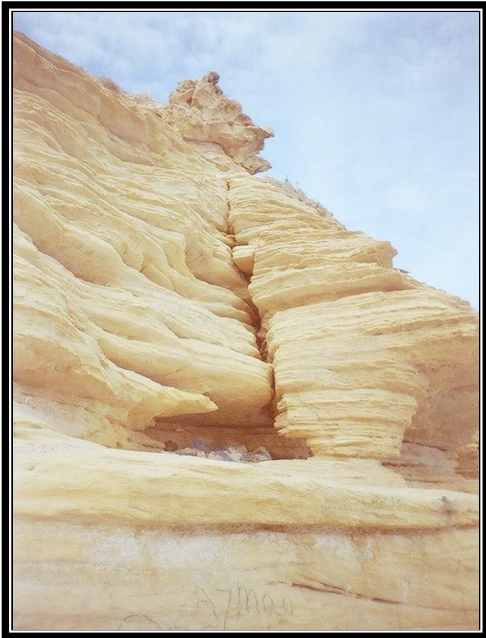
صورة رقم (١) رواسب شاطئية رملية بشاطئ



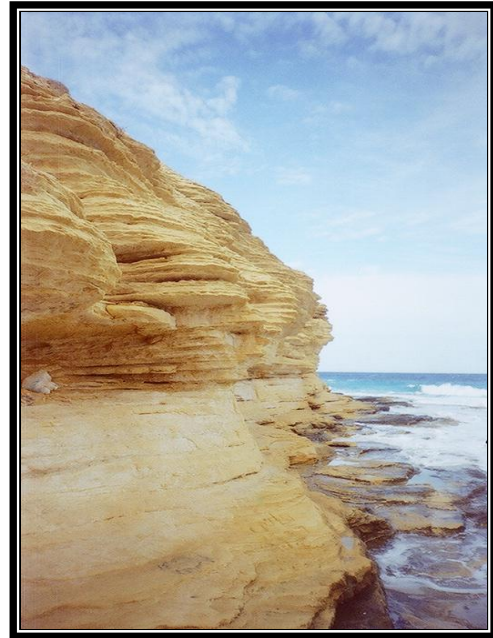
صورة رقم (٤) مسلة بحرية بشاطئ الأبيض، ارتفاعها مترين ونصف، واتساعها ثلاثة أمتار



صورة رقم (٣) قشور ملحية على هيئة زهرات وغطاء أبيض في رواسب السبخات التي تبعد عن شاطئ العريشة بحوالي ٢ كم تقريباً



صورة رقم (٦) صدع بسلسلة الجروف البحرية بمنطقة عجيبة



صورة (٥) جروف السلسلة الجيرية الساحلية، ارتفاعها حوالي عشرة أمتار، بمنطقة عجيبة

٢- العوامل المناخية

لعبت العوامل المناخية دوراً هاماً في تشكيل سطح المنطقة، حيث أن الظروف المناخية أدت لتشكيل ظواهر جيومورفولوجية في الماضي لا تستطيع ظروف الجفاف الحالية أن تنشئ مثل هذه الظواهر وأهمها تشكيل أودية المنطقة وما يرتبط بها من ظواهر، منها المراوح الفيضية التي تقع تحت أقدام الحافة الميوسينية، أما ظروف الجفاف الحالية فنتج عنها تشكيل الأخوار والمسيلات، وتشكلت القشرة الجيرية التي تغطي السلاسل الجيرية وصخور المنطقة، بفعل عملية التحوية الكيميائية والعوامل المناخية معاً، وقد اعتمدت دراسة الخصائص المناخية على محطة مطروح، لأنه لا يوجد محطة غيرها بالمنطقة، وفيما يلي دراسة للخصائص المناخية وهي:-

أ- الحرارة

- من الجدول رقم (١)، يتضح أن المتوسط السنوي للمعدلات الشهرية لدرجة الحرارة العظمى بالإقليم يصل إلى ٢٤,٢ درجة مئوية تقريباً، بينما يصل المتوسط السنوي للمعدلات الشهرية لدرجة الحرارة الصغرى بالإقليم إلى ١٤,٥ درجة مئوية، كما يتراوح متوسط درجة الحرارة العظمى في منطقة الدراسة خلال شهور السنة ما بين (١٨,٧ شتاءً - ٢٨,٩ درجة مئوية صيفاً)، في حين يصل متوسط درجة الحرارة الصغرى خلال شهور السنة ما بين (٩ شتاءً - ١٩,٩ درجة مئوية صيفاً)، أما عن أقصى درجة حرارة عظمى سجلها شهر أغسطس تصل إلى ٢٩,٧ درجة مئوية، في حين تصل درجة الحرارة في شهر يناير إلى ٨,٤ درجة مئوية، حيث يعد شهر يناير ذروة البرودة بالمنطقة.

ب- التبخر

- من تحليل الجدول رقم (١)، يتبين أن المتوسط السنوي للتبخر بمنطقة الدراسة يصل إلى ٧,٨ ملل/يوم، ويعتبر فصل الصيف من أكثر فصول السنة التي ترتفع به معدلات التبخر نتيجة لارتفاع درجات الحرارة، بينما كان فصلاً الخريف والربيع أقل من معدلات فصل الصيف، أما فصل الشتاء فهو أكثر فصول السنة انخفاضاً في معدلات التبخر نتيجة لانخفاض درجات الحرارة وارتفاع كمية الرطوبة الجوية. ومن تحليل الجدول رقم (١) يتبين أن المتوسط الفصلي للتبخر خلال فصل الصيف يصل إلى ٨,٥ ملل/يوم، بإجمالي يصل إلى ٧٦٥ ملل، في حين يبلغ المتوسط الفصلي للتبخر خلال فصل الشتاء إلى ٧ ملل/يوم، بإجمالي ٦٣٠ ملل، إذاً إجمالي التبخر صيفاً وشتاءً يصل إلى ١٣٩٥ ملل، بينما يصل إجمالي التبخر خلال فصلي الربيع والصيف إلى ١٤٩٤ ملل، في حين يصل إجمالي التبخر خلال فصلي الخريف والشتاء إلى ١٣٢٣ ملل، وبهذا فإن إجمالي معدلات التبخر السنوي تصل إلى ٢٨١٧ ملل.

جيو مورفولوجية أودية المنطقة المحصورة ما بين رأس علم الروم شرقاً وصولاً لرأس جرجوب غرباً

| المتوسط السنوي | فصل الصيف | | | | فصل الربيع | | | | فصل الشتاء | | | | فصل الخريف | | | | العنصر |
|----------------|----------------|-------|-------|-------|----------------|------|-------|------|----------------|--------|-------|--------|----------------|--------|--------|--------|---------------------|
| | المتوسط الفصلي | أغسطس | يوليو | يونيو | المتوسط الفصلي | مايو | ابريل | مارس | المتوسط الفصلي | فبراير | يناير | ديسمبر | المتوسط الفصلي | نوفمبر | أكتوبر | سبتمبر | |
| ٢٤,٢ | ٢٨,٩ | ٢٩,٧ | ٢٩,١ | ٢٨,١ | ٢٢,٨ | ٢٥,٤ | ٢٢,٧ | ٢٠,٤ | ١٨,٧ | ١٨,٨ | ١٨,٠ | ١٩,٥ | ٢٦,٢ | ٢٣,٢ | ٢٦,٩ | ٢٨,٦ | الحرارة |
| ١٤,٥ | ١٩,٩ | ٢١,١ | ٢٠,٤ | ١٨,٤ | ١٢,٣ | ١٤,٧ | ١٢,١ | ١٠,٢ | ٩,٠ | ٨,٦ | ٨,٤ | ١٠,١ | ١٧,٥ | ١٣,٤ | ١٩,٦ | ١٩,٧ | ع بالمئوي د |
| ٧,٨ | ٨,٥ | ٨,٦ | ٨,٤ | ٨,٤ | ٨,١ | ٧,٩ | ٨,٢ | ٨,٢ | ٧,٠ | ٧,٣ | ٦,٩ | ٦,٨ | ٧,٧ | ٦,٦ | ٧,٨ | ٨,٨ | التبخّر مللم/يوم |
| ١٣٧,٧ | ٢,٦ | ٠,٦ | - | ٢,٠ | ١٧,٤ | ٢,٦ | ٢,٨ | ١٢,٠ | ٧٨,٥ | ١٥,١ | ٣٣,٢ | ٣٠,٢ | ٣٩,٢ | ٢٢,٥ | ١٥,٦ | ١,١ | الأمطار (مللم) |

جدول رقم (١) متوسطات العناصر المناخية بمحطة مطروح

ج- الأمطار

أمطار منطقة الدراسة إعصارية، تتساقط بسبب مرور الانخفاضات الجوية، ومن المعتاد أن تكون الانخفاضات الشتوية أغزر مطراً من الانخفاضات الربيعية والخريفية، مع ملاحظة التباين في سقوط الأمطار من سنة لأخرى تبعاً لمدى نشاط هذه الانخفاضات.

(شحاتة سيد أحمد، ١٩٩١، ص ٨١)

ومن تحليل الجدول رقم (١) يتبين أن متوسط مجموع الأمطار السنوية يصل إلى ١٣٧,٧ ملم/السنة، وشهور المطر الفعلية هي ستة أشهر تمتد من أكتوبر حتى مارس، ويعتبر شهر يناير هو أكثر شهور السنة تساقطاً في كمية الأمطار، حيث تصل كمية الأمطار المتساقطة إلى ٣٣,٢ ملم، بنسبة ٢٤٪ من إجمالي المطر السنوي، بينما يصل إجمالي الأمطار المتساقطة إلى ١٥,٦ ملم، بنسبة ١١,٣٪، و ٢٢,٥ ملم، بنسبة ١٦,٣٪، و ٣٠,٢ ملم، بنسبة ٢١,٩٪، و ١٥,١ ملم، بنسبة ١٠,٩٪، و ١٢,٢ ملم، بنسبة ٨,٧٪ من إجمالي المطر السنوي في أشهر (أكتوبر، نوفمبر، ديسمبر، فبراير، مارس) على الترتيب، انظر للجدول رقم (١).

وتم حساب معامل الجفاف بالمنطقة بتطبيق معامل الجفاف عند لانج ١٩٢٠، ويحسب بقسمة كمية المطر السنوي (مليمتر) على المتوسط السنوي للحرارة بالمئوي، فإذا كانت النتائج أقل من ٤٠ تعرف المنطقة بأنها جافة (محمد صبري محسوب، ١٩٩٢، ص ٢١٧).

وبتطبيق المعادلة نخرج بالجدول رقم (٢) ويتضح أن معامل الجفاف بالمنطقة يصل إلى ٧,١، أي أن مناخ منطقة الدراسة جاف.

جدول رقم (٢) معامل الجفاف عند لانج ١٩٢٠ بالمنطقة

| متوسط كمية المطر السنوي (ملم) | متوسط الحرارة السنوي (بالمئوي) | معامل الجفاف |
|-------------------------------|--------------------------------|--------------|
| ١٣٧,٧ | ١٩,٣ | ٧,١ |

الجدول من حساب الباحث والبيانات مصدرها

Climatological Normals for U.R.E up 1975

وينتج عن سيادة الظروف الجافة بالمنطقة تفوق عمليات البخر عن كمية التساقط، انخفاض عمليات غسل الأملاح المعدنية القابلة للذوبان مثل كربونات الكالسيوم وسلفات الكالسيوم في الأراضي الجيرية القريبة من أحواض التصريف، استمرار الحركة الرأسية العلوية للرطوبة الموجودة في التربة، وافتقار التربة إلى الرطوبة التي يمكن أن تجعل المواد المغذية في صورة تستطيع النباتات والمحاصيل الزراعية الاستفادة منها، (علي شاهين، الإسكندرية، ١٩٧٦، ص ١٢٢).

ثانياً: - الأودية الجافة والمراوح الفيضية

أ- الأودية الجافة

تعد الأودية الجافة أهم الظواهر الجيومورفولوجية التي تميز المنطقة، حيث يتبين من الدراسة الميدانية وتحليل الخرائط الطبوغرافية مقياس رسم ١:٢٥٠٠٠، ١:١٠٠٠٠٠، أن عددها ٩٩ وادياً تتبع من الهضبة الميوسينية مكونة السبخات والمراوح الفيضية بمنطقة السهل الساحلي أو في داخل منخفضات منطقة الدراسة، انظر للأشكال أرقام (٣)، (٤).

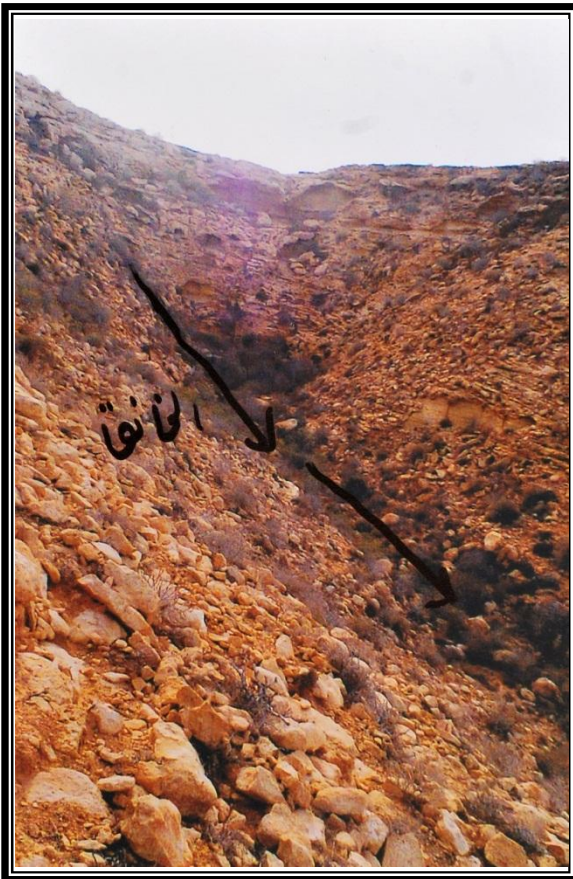
وقد سجل الباحث من خلال الدراسة الميدانية تكون ظواهر جيومورفولوجية بفعل عملية النحت الرأسية، وهي ظاهرة الحفر الوعائية Pot holes في المجرى الأعلى لوادي حرجة، وعددها خمس حفر وعائية، ويصل متوسط اتساعها حوالي ١٢٠ سم، وعمقها حوالي ٣٠ سم.

كذلك سجل الباحث ظاهرة المنعطفات النهرية على طول أجزاء أودية الخروبة وحرجة، وعددها تسعة منعطفات لوادي الخروبة، وخمسة لوادي حرجة، وبهذا تقل أبعاد المنعطفات كلما قلت رتب الأودية، وبهذا يوجد أقصى أبعاد للمنعطفات النهرية في الأجزاء الدنيا للأودية، حيث يبلغ متوسط أطوالها حوالي ٩٩٧ متراً لوادي الخروبة، و٢١٥ متراً لوادي حرجة، في حين يوجد أدنى طول للمنعطفات النهرية في الأجزاء العليا للأودية، حيث يبلغ أطوالها حوالي ١٠٠ متراً لوادي الخروبة، و٦٠ متراً لوادي حرجة.

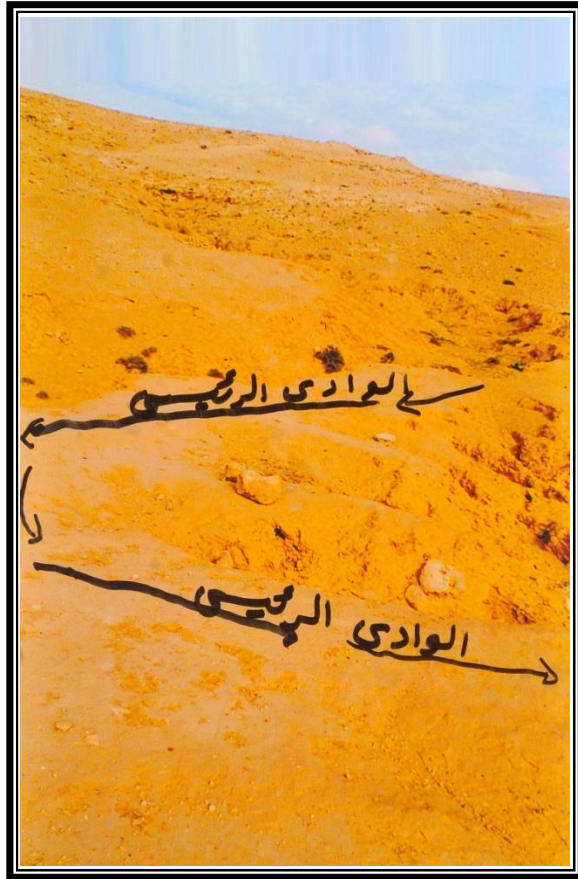
أما عن اتساع الأودية فيتبين أن أقصى اتساع لها في الأجزاء الدنيا منها والعكس صحيح، حيث سجل الباحث من خلال الدراسة الميدانية أقصى اتساع في الأجزاء الدنيا، وأدنى اتساع في القطاعات العليا للأودية، وبهذا فإن أقصى اتساع سجل (٢١٥، ١٨٠) متراً في القطاعات الدنيا لأودية الخروبة وحرجة على التوالي، وأدنى اتساع سجل (٧٥، ٣٥) متراً في الأجزاء العليا لأودية الخروبة، وحرجة، انظر للصورة رقم (٧)، وهذا يدل على سيادة عمليات النحت في المجاري العليا، حيث تتكون منعطفات الشباب حينما يكون النحت على أشده لتعميق الوادي، ويتفادى الوادي في جريانه العقبات الصخرية الصلبة التي تصادفه، فيتثنى ويلتوى من حولها منشئاً لتلك المنعطفات، ويشتد النحت في الضفاف المقعرة مكوناً لجروف شديدة الانحدار، بينما يقل النحت أو ينعدم على الضفاف المحدبة المقابلة فيتترك سفوحاً هينة الانحدار Slip off slope (جودة حسنين جودة، ٢٠٠٣، ص ٢٨١).

وبهذا تتأثر الأودية بعاملين رئيسيين هما الانحدار والتكوين الصخري، إذ يزداد ضيق المجرى ويقل طوله مع شدة انحدار الوادي والعكس صحيح، كما أن التكوين الصخري له علاقة قوية بعملية النحت على طول الوادي، وبهذا فإن منعطفات منطقة الدراسة تكونت خلال الفترات المطيرة في عصر البلايوسين، لأن مثل هذه المنعطفات لا يمكن أن تتكون في ظل ظروف المناخ الجاف في الهولوسين.

كذلك سجل الباحث ظاهرة الخوانق النهرية في أعالي وادي الهواري بمنطقة رأس "أبو لاهو"، وهذا الخانق يشق تكوينات الحجر الجيري الميوسيني، ويتميز بشدة انحدار جوانبه، ويصل متوسط ارتفاع الحوائط حوالي ٣٥ مترًا، بينما لا يتعدى اتساع الوادي أكثر من ثلاثة أمتار، وذلك لنشاط عملية النحت الرأسية التي يقوم بها الوادي، كذلك لتساقط الصخور من الحافة الغربية للوادي، حيث يزيد انحدار الحافة على ٦٠ درجة، مما يعرض الصخور الحافة لعمليات التجوية الكيميائية والتي تعمل على توسيع الشقوق الصخرية، فتؤدي إلى إذابة الصخور المحيطة بها، وتكرار العملية يصبح الاتصال بين الكتلة الصخرية الخارجية وبين الصخور الحافة ضعيفًا، وبفعل الجاذبية الأرضية تنهار الصخور وتساقط من أعالي الحافة تجاه مجرى الوادي، انظر للصورة رقم (٨).



صورة رقم (٨) خانق وادي الهواري في جزئه الأوسط ويبلغ ارتفاع جانبيه حوالي ٣٥ متر، لاحظ تساقط الصخور من أعالي الحافة الغربية للوادي صوب مجراه



صورة رقم (٧) منعطفات وادي الخروبة بمجره الأوسط

ب- المراوح الفيضية

هي إحدى الظواهر الجيومورفولوجية التي تنشأ بفعل الإرساب عند نهايات مجاري الأودية الجافة، وتكونت تحت تأثير الظروف المناخية، عندما كانت كمية الأمطار السنوية في البلايوستوسين الأوسط والأعلى حوالي ٨٠٠ ملم/السنة، ولكنها انخفضت في نهاية البلايوستوسين إلى ٢٠٠ ملم/السنة (إمباي، ١٩٧٩، ص ٨)، ومعنى ذلك أن المرحلة الأولى لتكون المراوح الفيضية انحصرت في البلايوستوسين الأوسط والأعلى، وعندما ساد المناخ الجاف وشبه الجاف في عصر الهولوسين اكتمل نموها، ومعنى ذلك أنها تكونت نتيجة فيضانات سيلية متتابة.

وقد توصل الباحث من خلال الدراسة الميدانية لمناطق متفرقة من السهول الرسوبية المكونة من الحصى والجلاميد المختلفة الأحجام والأشكال، وذلك عند أعالي المراوح الفيضية بمنطقة القصر حيث يصل متوسط أحجامها من ٣-١٠ سم مروحة وادي شقوفة، في حين يصل متوسط سمكها حوالي ١٢٠ سم تقريباً، أما مروحة وادي الرمل فيصل متوسط أحجامها من ٣-١٨ سم، في حين يصل متوسط سمكها حوالي ٧٥ سم تقريباً، وتنحدر هذه السهول الرسوبية بمعدل انحدار ١/٢٥٠ م تقريباً.

من تحليل الجدول رقم (٣) الذي يوضح نماذج لثلاث عينات من الرواسب السطحية للمراوح الفيضية المأخوذة من عمق ١٠-٥٠ سم يتبين الآتي:-

- عينة الرواسب المأخوذة من وادي الرمل يصل متوسط نسب المكونات الحصوية إلى ١٨,٢٪، بينما يصل متوسط نسبة المكونات الرملية الخشنة إلى ٧٥,٥٣٪، في حين يصل متوسط نسبة الرمل الناعم ومكونات الغرين والطين إلى ٣,٧٪، ٢,٥٧٪ على التوالي، انظر للشكل رقم (٤).

- عينة الرواسب المأخوذة من مروحة وادي شقوفة، تصل بها نسبة الحصى إلى ٢٣,٤٢٪، والمكونات الخشنة ٧٣,٣١٪، بينما ١,٥٪ الرمل الناعم، و١,٧٧٪ مكونات الغرين والطين، انظر للشكل رقم (٤).

- أما عينة الرواسب المأخوذة من مروحة وادي الوشبكة فتصل نسبة الحصى إلى ٣٤,٢٪، ونسبة الرمل الخشن إلى ٥٣,٢٩٪، و١١,٦٥٪، ٠,٨٦٪ نسبة الرمل الناعم ومكونات الغرين والطين على الترتيب، انظر للشكل رقم (٤).

وبهذا تكون رواسب قمة المروحة خشنة بنسبة كبيرة، لأن الوادي يخرج فجأة من المنطقة الجبلية فيقل انحداره وتلقي المياه ما تحمله من رواسب خاصة الخشنة، بينما تظل الرواسب الدقيقة متدفقة مع الجريان حتى أقدم المروحة، والنتيجة أن هذا النسيج الخشن من الرواسب يصبح مستودعاً للمياه تحت السطحية.

جدول رقم (٣) التحليل الميكانيكي لبعض عينات الرواسب السطحية للمراوح الفيضية

| رقم العينة | موقع العينة | حصى خشن % | حصى % | رمل خشن جداً % | رمل خشن % | رمل متوسط % | رمل ناعم % | غرين % | طين % |
|------------|--------------------|-----------|-------|----------------|-----------|-------------|------------|--------|-------|
| ١ | مروحة وادي الرمل | ٩,٣ | ٨,٩ | ٣٥,٤ | ٢١,٧٣ | ١٨,٤ | ٣,٧ | ٢,١ | ٠,٤٧ |
| ٢ | مروحة وادي شقوفة | ١٤,١١ | ٩,٣١ | ٤٣,٥ | ١١,٨١ | ١٨,٠ | ١,٥ | ٠,٧٧ | ١,٠ |
| ٣ | مروحة وادي الوشبكة | ٥,٢ | ٢٩,٠ | ١٤,١٩ | ٣٢,٦٣ | ٦,٤٤ | ١١,٦٥ | ٠,٣٥ | ٠,٥١ |

من تحليل الباحث بمعمل التربة بقسم الجغرافيا-جامعة القاهرة

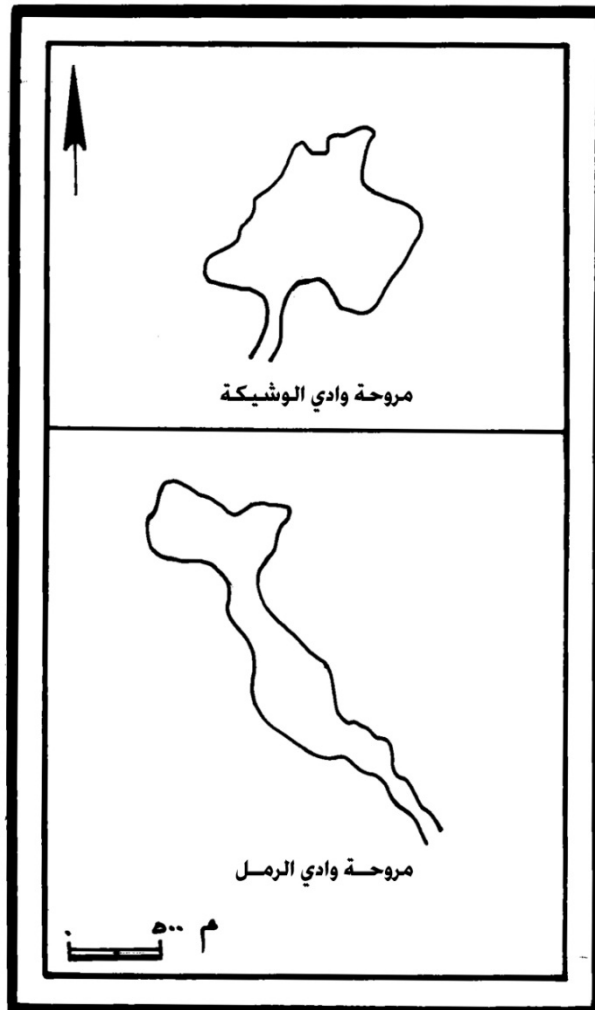
ومن تحليل الجدول رقم (٤) يتبين أن هناك علاقة طردية بين مساحة الحوض كم٢، وبين مساحة مروحته الفيضية، فكلما كبرت المساحة الحوضية كلما زادت مساحة المروحة الفيضية، حيث يتبين أن مروحة وادي الرمل تتكون عند نهاية الوادي نفسه، وهي مروحة فيضية صغيرة الحجم إصبعية الشكل، مساحتها حوالي كم٢، أي ضعف مساحة مروحة وادي الوشبكة، والتي يقترب شكلها من الشكل المستطيل، والتي تصل مساحتها حوالي ٠,٥٥ كم٢، الشكل رقم (٥).

جدول رقم (٤) العلاقة بين مساحة حوض التصريف ومساحة مروحته الفيضية

| نسبة مساحة المروحة الفيضية بالنسبة لمساحة حوض التصريف % | المساحة | | الوادي |
|---|---------------------|-----------|---------|
| | المروحة الفيضية كم٢ | الحوض كم٢ | |
| ٤,٦ | ١,٠ | ٢١,٧ | الرمل |
| ٨,٥ | ٠,٥٥ | ٦,٤ | الوشبكة |

من حساب الباحث والبيانات مصدرها خرائط الموزايك مقياس رسم ١:٦٠٠٠٠٠

وتتميز المراوح الفيضية ببعض الظواهر الجيومورفولوجية التي تشكل سطحها أهمها ظاهرة القنوات المضفرة Braided Channels، وهي عبارة عن قنوات صغيرة الحجم وضحلة، ويتقاطع بعضها البعض، وتنشأ بفعل قوة السيول واتجاهه، فإذا كانت السيول قوية ازداد عمق القنوات، والعكس صحيح. وعادةً ما تكون السيول بمنطقة الدراسة ضعيفة بسبب ضحالة الأودية وصغر مساحتها، كما أن اتجاه السيول يحدد شكل القنوات، فإذا كانت السيول تأخذ اتجاهًا طوليًا يكون شكل القنوات طوليًا، وإذا كانت القنوات متشعبة دل ذلك على تشعب اتجاهات السيول بالمنطقة، وقد لاحظ الباحث القنوات المضفرة والتي تأخذ الشكل الطولي بمروحة وادي الرمل، وقد سجل أطوال ثلاثة قنوات متقاطعة مع بعضها البعض، حيث يتراوح أطوالها من ٥٠ متر إلى ٢٠٠ متر، وتتصف بضخالتها، حيث يصل متوسط عمقها حوالي ٥٠ سنتيمتر تقريبًا.



شكل رقم (٥) أشكال بعض المراوح الفيضية بمنطقة الدراسة

ج- التحليل المورفومتري لأحواض التصريف

اعتمدت الدراسة على الخرائط الطبوغرافية مقياس رسم ١:٢٥٠٠٠، ١:١٠٠٠٠٠، وخرائط الموزايك مقياس رسم ١:٦٠٠٠٠، وجهاز البلانيمتر لقياس المساحات على الخرائط، وقد تم اختيار عدد من الأودية وهي (الرمل، المدور، ماجد، الوشبكة، الحابس، أم آشطان، منجور، سنبل)، وقد تم اختيار الأودية لتكون نموذج يحتوي مساحات أحواض التصريف المختلفة سواءً الكبيرة المساحة مثل أحواض أودية (الرمل، أم آشطان)، والتي تصل مساحة أحواضها (٢١,٧، ١٦,٦) كم^٢ على التوالي، والمتوسطة المساحة مثل أحواض أودية (ماجد، والمدور)، والتي تصل مساحة أحواضها (١٢,٨، ١٢,٧) كم^٢ على الترتيب، والصغيرة المساحة مثل أحواض (سنب، الوشبكة، منجور، والحابس)، والتي تصل مساحة أحواضها (٦,٧، ٦,٤، ٤,٢، ٣,٤) كم^٢ على التوالي.

١- خصائص الشبكة التصريفية

أ- رتب المجاري المائية

تعتمد الدراسة المورفومترية للنظم النهرية على أساس تصنيف روافد المجاري النهرية إلى مجموعات أو رتب، بحيث تكون مجاري أنهار الرتبة الأولى والتي تتحد مع بعضها البعض مكونةً مجاري أنهار الرتبة الثانية، والتي تتحد مع بعضها هي الأخرى لتكون بدورها مجاري أنهار الرتبة الثالثة وهكذا، وقد استخدم الباحث الأسلوب الذي اتبعه استرهلر ١٩٥٧ (Strahler, A., 1957, pp. 912-920) عند تصنيف المجاري التصريفية في مراتبها المختلفة، ومن تحليل الجدول رقم (٥) والأشكال من (٦) إلى (٨) والتي توضح الرتب المختلفة للأودية المختارة بمنطقة الدراسة، يلاحظ أن ٨٠٪ من الأودية من مجاري الرتبة الأولى، (أي الروافد الصغيرة جداً)، وبهذا يلاحظ اختلاف في أعداد مجاري الرتبة الأولى لأودية منطقة الدراسة، فيرتفع عددها إلى ١٩٣ رافداً في وادي أم آشطان، ويصل عددها (٦٠، ٥٢) رافداً لأودية الرمل ومنجور، وتنخفض أعداد المجاري المائية لتصل إلى (٣٣، ٢٨، ٢١) رافداً لأودية الحابس، المدور، الوشبكة، ويعد وادي سنب أقل الأودية في عدد مجاري الرتبة الأولى بالمنطقة، وبهذا يبلغ المتوسط العام لمجاري الرتبة الأولى ٥٣,٦ رافداً، ويرجع الاختلاف في عدد المجاري للرتبة الأولى إلى اختلاف مساحة منطقة تجمع المياه في الحوض والظروف الليثولوجية المحلية لكل حوض، وفترة تعرضه لتساقط المطر، وبهذا تتضح العلاقة التي وضحها Horton من وجود علاقة بين الرتبة وأعداد مجاريها، فأعداد المجاري يرتفع بتناقص الرتبة، حيث أن عدد المجاري النهرية يميل إلى تكوين متوالية هندسية معكوسة، وبذلك يتضح وجود علاقة موجبة بين عدد الروافد والمساحة، حيث تزداد الرتب بزيادة المساحة، (آمال شاور، ٢٠٠٠، ص ١٢١).

ب- أطوال مجاري الأودية

ومن تحليل الجدول رقم (٦) الذي يوضح نتائج حساب أطوال مجاري الأودية الجافة المختارة من منطقة الدراسة تبين ما يلي:-

يبلغ المتوسط العام لإجمالي أطوال مجاري الأودية حوالي ٢٨,٧ كم، ويتراوح الطول الإجمالي للأودية المدروسة ما بين ٥٦ كم لوادي الرمل - ٧,٥ كم لوادي الحابس، أي يتباين الطول الإجمالي لمجاري الأودية في مدى إحصائي كبير يبلغ نحو ٤٨,٥ كم.

ومن تحليل الباحث للخرائط الطبوغرافية للمنطقة مقياس رسم ١:٢٥٠٠٠، ١:١٠٠٠٠٠، تبين أن ٧٠٪ من إجمالي الأودية الجافة بالمنطقة والبالغ عددها ٩٩ وادياً تتصف بقصر أطوال مجاريها وصغر مساحة أحواضها التصريفية، ويعد وادي الرمل أطول هذه المجموعة من الأودية حيث يصل طول مجراه حوالي ٥٦ كم، ويتضح أن العلاقة عكسية بين أطوال الأحواض والجريان السطحي من حيث الفترة الزمنية، ومن الملاحظ أن أودية (الوشيقة، الحابس، منجور) يصل إجمالي أطوال أحواضها أقل من المتوسط العام لإجمالي مجاري الأودية والبالغ ٢٨,٧ كم، وهذا مدلوله الجيومورفولوجي احتمالية الجريان السطحي بهذه الأودية.

أما أطوال أحواض الأودية التي تزيد عن المتوسط العام لإجمالي مجاري الأودية والبالغ ٢٨,٧ كم وهي (الرمل، المدور، ماجد، أم أشطان، سنبل)، فإن احتمالية الجريان السطحي بهذه الأودية ضعيف، وبهذا يقل الجريان في معظم أحواض منطقة الدراسة.

ج- نسبة التشعب

وهي علاقة بين عدد مجاري رتبة نهرية معينة إلى عدد المجاري في الرتبة التالية لها مباشرة، ومن القوانين الرياضية التي يتم حساب نسبة التشعب قانون استرهلر ١٩٥٧ ويتلخص بالآتي:-

$$\text{نسبة التشعب ش ن} = \frac{م ع}{١ + م ع}$$

حيث أن م = رتبة المجرى

بينما ع م = عدد المجاري التابعة لنفس الرتبة (A, Strahler, 1957, p. 915)

ويتم حساب نسب التشعب بقسمة أعداد مجاري الرتبة الأكبر على أعداد مجاري الرتبة التي تليها، وبهذا فإن العلاقة طردية بين نسبة التشعب وحجم التصريف المائي، وكلما زادت نسبة التشعب دل هذا على عدم تركيز الجريان والعكس، (آمال شاور، ٢٠٠٠، ص ١٢٢).

فمن تحليل الجدول رقم (٧) يتبين الآتي:-

- يبلغ المتوسط العام لنسب تشعب مجاري أودية منطقة الدراسة حوالي ٢,٩٨، أي أنه تتباين هذه النسب في مدى إحصائي صغير نسبياً يبلغ نحو ١,٨ فقط، إذ يبلغ الحد الأقصى لمتوسطات هذه النسب حوالي ٣,٨ في مجرى وادي الحابس، ولا يتعدى حدها الأدنى أكثر من ٢,٠ في مجرى وادي سنبل.
- وإذا قمنا بمقارنة نسب تشعب مجاري هذه الأودية في رتبها المختلفة نلاحظ التفاوت الكبير بين نسب تشعب هذه المجاري بين كل رتبة نهرية وأخرى، إذ أنها تتباين هي الأخرى في مدى إحصائي كبير يصل للقيمة ٥,٨، إذ لا يتعدى الحد الأدنى لهذه النسب أكثر من قيمة المعامل ٢، بينما قيمة حدها الأقصى ٧,٨، راجع الجدول رقم (٧).

د- الكثافة التصريفية:-

- تعبر الكثافة التصريفية عن العلاقة النسبية بين أطوال المجاري المائية ومساحة أحواضها التجميعية، وتتوقف قيمتها على كمية الأمطار بالإقليم وعلاقتها بمعدلات التبخر والتسرب، وتدل الكثافة المرتفعة على أن المياه تنصرف من المجاري بسرعة والعكس، وتحسب الكثافة التصريفية من خلال القانون التالي:-

$$\text{الكثافة التصريفية} = \frac{\text{مجموع أطوال المجاري بالكم}}{\text{المساحة الحوضية بالكم}^2}$$

(A, Strahler, 1957, p. 918)

- ومن تحليل الجدول رقم (٨) الذي يوضح قيمة الكثافة التصريفية للأودية المدروسة يتبين أن المتوسط العام للكثافة التصريفية يصل إلى ٢,٧ كم/كم^٢ تقريباً، وهذا مدلوله الجيومورفولوجي انخفاض قيم الكثافة التصريفية، ذلك بسبب قلة الأمطار المتساقطة، ارتفاع معدل التبخر لمياه المجاري التصريفية، كذلك لزيادة أطوال المجاري المائية، انخفاض مساحة الأحواض التصريفية أو للثنين معاً، حيث تزداد كثافة التصريف (٢ كم/كم^٢) مع زيادة مساحة أحواض التصريف (٢ كم^٢) وتقل بازدياد أطوال المجاري المائية.
- من تحليل الجدول رقم (٩) يتضح من خلاله مجموعة من أحواض أودية التصريف أولهما أحواض أودية صغيرة المساحة تتمثل في أحواض أودية (الحابس، منجور، الوشبكة، سنبل) وتصل مساحة أحواضها (٤,٣، ٤,٢، ٤,٤، ٦,٤، ٦,٧) كم^٢ على التوالي، وهذه المجموعة من أحواض أودية التصريف يقل بها احتمالية الجريان السطحي، وثانيها أحواض أودية متوسطة المساحة والمتمثلة في أحواض أودية (المدور، ماجد)، وتصل مساحة أحواضها إلى (١٢,٧، ١٢,٨) كم^٢ على الترتيب، وهذه المجموعة يحتل بها الجريان السطحي نسبياً عن المجموعة الأولى، أما أحواض الأودية كبيرة المساحة وهي (أم

آشطان، الرمل) والتي تصل مساحة أحواضها إلى (٦،١٦، ٧،٢١) كم هي التي تبلغ احتمالية الجريان السطحي فيها أكثر، ذلك لأن كلما كبرت مساحة الحوض زادت كمية الأمطار التي يستقبلها مما يؤدي لزيادة حمولة الوادي والعكس صحيح.

جدول رقم (٥) الرتب النهريّة ومساحات الأحواض

| الرتبة الخامسة | الرتبة الرابعة | الرتبة الثالثة | الرتبة الثانية | الرتبة الأولى | مجموع الرتب | المساحة (كم ^٢) | الوادي | المنطقة |
|----------------|----------------|----------------|----------------|---------------|-------------|----------------------------|----------|----------------|
| - | ١,٠ | ٣,٠ | ١٢,٠ | ٦٠,٠ | ٧٦,٠ | ٢١,٧ | الرمل | (ق) مرسى مطروح |
| - | - | ١,٠ | ٧,٠ | ٢٨,٠ | ٣٦,٠ | ١٢,٧ | المدور | القصر |
| - | ١,٠ | ٢,٠ | ٨,٠ | ٢٣,٠ | ٣٨,٠ | ١٢,٨ | ماجد | القصر |
| - | ١,٠ | ٢,٠ | ٥,٠ | ٢١,٠ | ٢٩,٠ | ٦,٤ | الوشيكّة | القصر |
| - | ١,٠ | ٢,٠ | ٦,٠ | ١٩,٠ | ٢٨,٠ | ٦,٧ | سنب | القصر |
| ١,٠ | ٢,٠ | ٥,٠ | ٣٩,٠ | ١٩٣,٠ | ٢٤٠,٠ | ١٦,٦ | أم آشطان | أم الرحم |
| - | - | ١,٠ | ٦,٠ | ٣٣,٠ | ٤٠,٠ | ٣,٤ | الحابس | أم الرحم |
| - | ١,٠ | ٢,٠ | ١٠,٠ | ٥٢,٠ | ٦٥,٠ | ٤,٢ | منجور | أبو لاهو |

الجدول من حساب الباحث والبيانات مصدرها خرائط الموزايك مقياس رسم ١:٦٠٠٠٠٠

جدول رقم (٦) متوسطات الأطوال الإجمالية لمجري الأودية الجافة

| إجمالي أطوال مجاري الوادي (كم) | إجمالي عدد مجاري | الوادي |
|--------------------------------|------------------|----------|
| ٥٦,٠ | ٧٦ | الرمل |
| ٣٤,٠ | ٣٦ | المدور |
| ٣٠,٥ | ٣٨ | ماجد |
| ٢٣,٣ | ٣٧ | الوشيكّة |
| ٣٠,٨ | ٢٨ | سنب |
| ٤٠,٢ | ٢٤٠ | أم آشطان |
| ٧,٥ | ٤٠ | الحابس |
| ٨,٠ | ٦٥ | منجور |

الجدول من حساب الباحث والبيانات مصدرها خرائط الموزايك مقياس رسم ١:٦٠٠٠٠٠

جدول رقم (٧) متوسط نسبة تشعب مجاري الأودية الجافة الرئيسية في مراتبها المختلفة

| الوادي | رتبة المجرى | عدد المجاري في المرتبة | متوسط نسبة التشعب | الوادي | رتبة المجرى | عدد المجاري في المرتبة | متوسط نسبة التشعب |
|---------|-------------|------------------------|-------------------|----------|-------------|------------------------|-------------------|
| الرمل | ١ | ٦٠ | ٥ | سنيب | ١ | ١٩ | ٣.١ |
| | ٢ | ١٢ | ٤ | | ٢ | ٦ | ٣ |
| | ٣ | ٣ | ٤ | | ٣ | ٢ | ٣ |
| | ٤ | ١ | ٣ | | ٤ | ١ | ٢ |
| | المجموع | ٧٦ | ٣ | | المجموع | ٢٨ | ٢ |
| المدور | ١ | ٢٨ | ٤ | أم أشطان | ١ | ١٩٣ | ٤.٩ |
| | ٢ | ٧ | ٧ | | ٢ | ٣٩ | ٧.٨ |
| | ٣ | ١ | ٧ | | ٣ | ٥ | ٢.٥ |
| | ٤ | - | - | | ٤ | ٢ | ٢ |
| | المجموع | ٣٦ | ٣.٦ | | المجموع | ٢٤٠ | ٣.٤ |
| ماجد | ١ | ٣٣ | ٤.١ | الحابس | ١ | ٣٣ | ٥.٥ |
| | ٢ | ٨ | ٤ | | ٢ | ٦ | ٦ |
| | ٣ | ٢ | ٤ | | ٣ | ١ | ٤ |
| | ٤ | ١ | ٢ | | المجموع | ٤٠ | ٣.٨ |
| | المجموع | ٤٤ | ٢.٥ | | المجموع | ٥٢ | ٥.٢ |
| الوشيكة | ١ | ٢٩ | ٥.٨ | منجور | ١ | ٥٢ | ٥.٢ |
| | ٢ | ٥ | ٢.٥ | | ٢ | ١٠ | ٥ |
| | ٣ | ٢ | ٢.٥ | | ٣ | ٢ | ٢ |
| | ٤ | ١ | ٢ | | ٤ | ١ | ٢ |
| | المجموع | ٣٧ | ٢.٦ | | المجموع | ٦٥ | ٣ |

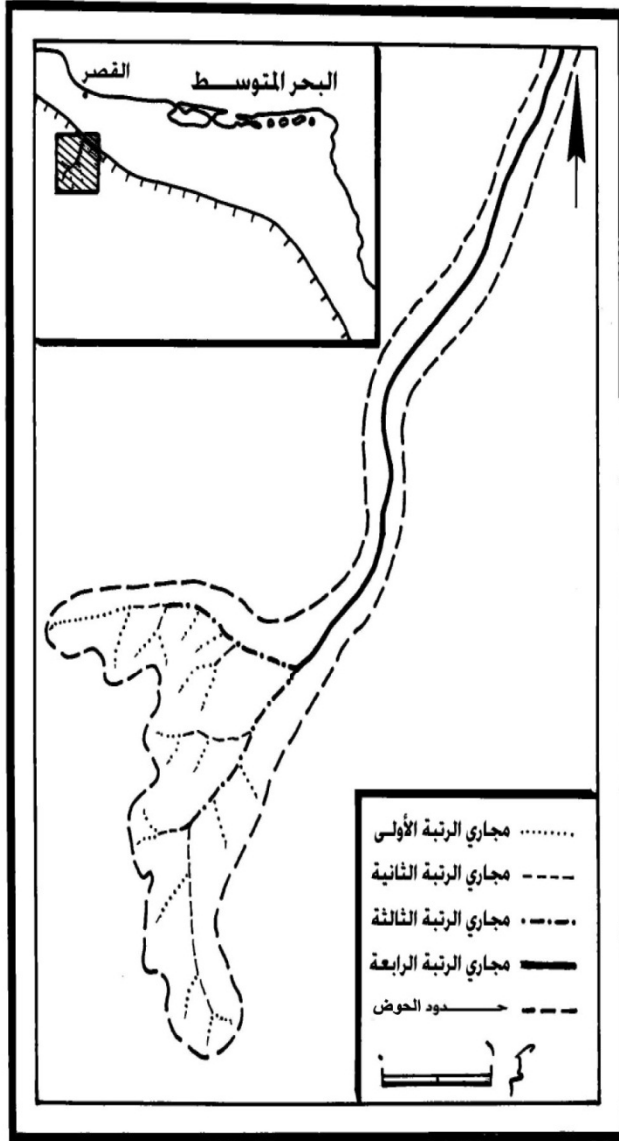
جدول رقم (٨) كثافة التصريف للأودية

| الوادي | الطول الإجمالي لمجاري الرتب (كم) | المساحة التجميعية (كم ^٢) | الكثافة التصريفية (كم ^٢) |
|----------|----------------------------------|--------------------------------------|--------------------------------------|
| الرمل | ٥٦.٠ | ٢١.٧ | ٢.٥ |
| المدور | ٣٤.٠ | ١٢.٧ | ٢.٦ |
| ماجد | ٣٠.٥ | ١٢.٨ | ٢.٣ |
| الوشيكة | ٢٣.٣ | ٦.٤ | ٣.٦ |
| سنيب | ٣٠.٨ | ٦.٧ | ٤.٥ |
| أم أشطان | ٤٠.٢ | ١٦.٦ | ٢.٤ |
| الحابس | ٧.٥ | ٣.٤ | ٢.٢ |
| منجور | ٨.٠ | ٤.٢ | ١.٩ |

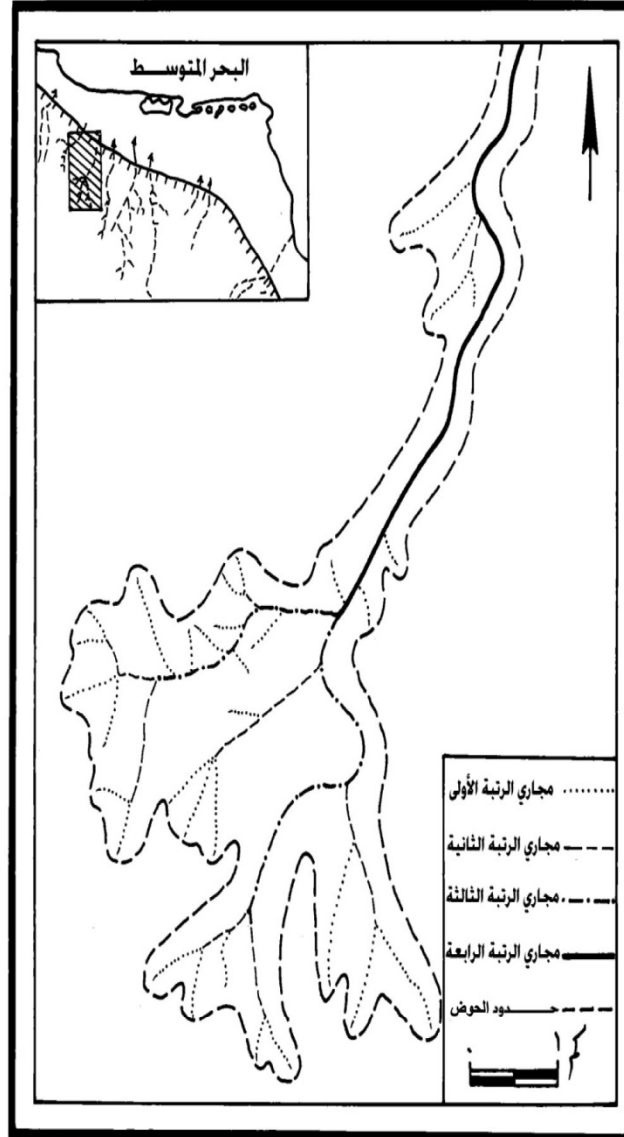
جدول رقم (٩) تقسيم أحواض التصريف حسب المساحة الحوضية

| أحواض أودية التصريف | مساحة الحوض (كم ^٢) |
|-------------------------|--------------------------------|
| أ- أحواض صغيرة المساحة | |
| - الحابس | ٣.٤ |
| - منجور | ٤.٢ |
| - الوشيكة | ٦.٤ |
| - سنيب | ٦.٧ |
| ب- أحواض متوسطة المساحة | |
| - المدور | ١٢.٧ |
| - ماجد | ١٢.٨ |
| ج- أحواض كبيرة المساحة | |
| - أم أشطان | ١٦.٦ |
| - الرمل | ٢١.٧ |

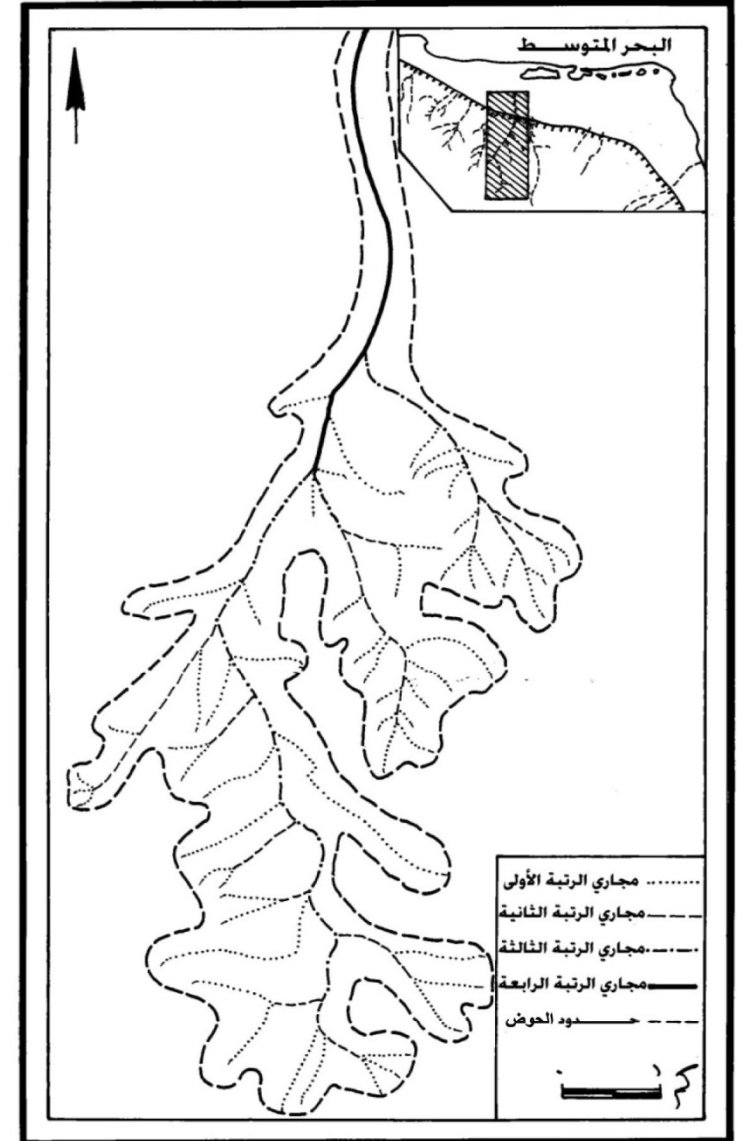
البيانات من الجدول رقم (٨)



شكل رقم (٨) شبكة التصريف لوادي سناب



شكل رقم (٧) شبكة التصريف لوادي ماجد



شكل رقم (٦) شبكة التصريف لوادي الرمل

– التكرار النهري

يفيد دراسة التكرار النهري في إيضاح صورة مصغرة للدلالة على وفرة التصريف وقلته بين منطقة وأخرى، وذلك من خلال معرفة عدد تكرارات المجاري المائية/كم^٢، ويحسب التكرار النهري بقسمة العدد الإجمالي لكل الرتب على مساحة الحوض وذلك من خلال المعادلة الآتية:-

$$\text{التكرار النهري} = \frac{\text{العدد الإجمالي لمجري كل المراتب النهريّة}}{\text{مساحة الحوض التجميعية كم}^2}$$

(Horton, 1945, p. 285)

ومن تحليل الجدول رقم (١٠) يتبين الآتي:-

- يصل معدل التكرار النهري للأحواض المدروسة ٦,٦٦/كم^٢، وتتباين هذه المعدلات في مدى إحصائي كبير يبلغ نحو ١٢,٦ مجرى/كم^٢، إذ لا يتعدى الحد الأدنى لمعدلات التكرار النهري بالأودية المدروسة أكثر من ٢,٨ مجرى/كم^٢ بحوض وادي المدور، بينما يصل الحد الأقصى إلى نحو ١٥,٤ مجرى/كم^٢ بحوض وادي منجور.

- يلاحظ زيادة معدلات التكرار النهري في أحواض أودية (الحابس، أم آشطان، منجور) عن المعدل العام للأودية المدروسة، بينما تقل أحواض بقية أودية المنطقة عن هذا المعدل، مما يشير إلى زيادة عدد مجاري أودية المجموعة الأولى في الوحدة المساحية من أحواضها التجميعية بالنسبة إلى أعداد مجاري أودية المجموعة الثانية التي تقل معدلات تكرارها النهري تبعاً لشدة انحدار مجاري هذه المجموعة من الأودية.

و- انحدار المجاري المائية

توضح دراسة انحدار المجاري النهريّة مدى نضج الوادي النهري، والمرحلة التي قطعها كل وادي من مراحل دورته التحتاتية، فعندما يصل المجرى النهري لمرحلة الثبات أو ما يطلق عليه تعبير النهر المتعادل Graded Stream، حيث يتعادل انحدار المجرى النهري مع البنية الصخرية Adjusted to Structure، ويظهر انحدار المجرى في هذه الحالة على شكل مقعر كبير، أما في حالة الوادي الذي مازال في مرحلة الشباب يظهر انحدار المجرى النهري على شكل منحدر أقل تقعرًا، (حسن أبو العينين، ١٩٩٥، ص ٣٤١).

وتوصل (Horton 1945, p. 295) إلى قانون خاص بانحدار المجاري النهريّة مؤداه أن متوسط انحدار المجاري النهريّة في الرتب المختلفة في حوض النهر يكون متوالية هندسية عكسية تقل بنسبة انحدار ثابتة، ويتم الحصول على متوسط الانحدار من القانون التالي:-

$$C = \frac{M}{F}$$

حيث أن ح م : متوسط الانحدار

ع م : المسافة الرأسية

ف م : المسافة الأفقية

ومن تحليل الجدول رقم (١١) الذي يوضح انحدار المجاري المائية يتبين الآتي:-

- يبلغ متوسط نسب انحدارات مجاري الأودية المدروسة بمنطقة البحث نحو ٠,٠١٥،
- تتباين قيم نسب انحدارات الأودية المدروسة في مدى إحصائي كبير يبلغ نحو ٠,٠١٨، إذ يبلغ الحد الأقصى لها نحو ٠,٠٣٧. بمجرد وادي سنب، بينما لا تتعدى نسبة انحدار وادي المدور أكثر من ٠,٠١٩ الذي يمثل الحد الأدنى لانحدارات الأودية بالمنطقة.
- تقل نسب انحدارات المجاري المائية ابتداء من الرتبة الأولى مع ارتفاع قيمة الرتبة، وبهذا فإن منحدرات الرتبة الأولى في جميع الأودية أشد انحدارا لتصل إلى ٠,٠٦٧، في حين تقل في الرتبة الثانية لتصل إلى ٠,٠٣٥، وتقل في الثالثة عن الثانية لتصل إلى ٠,٠١٦، وتقل في الرابعة عن الثالثة لتصل إلى ٠,٠٠٧، وتقل في الخامسة عن الرابعة لتصل إلى ٠,٠٠٠٨، والسبب في شدة انحدارات أعالي المجاري النهرية يرجع إلى حداثة نشأتها نسبياً، وإلى صلابة الصخور نسبياً في الأجزاء العليا، حيث تتماسك حزيئات هذه التراكيب الصخرية مما يدفع هذه الروافد لزيادة نشاط نحتها الرأسي وبالتالي تشتد انحداراتها.
- تظهر انحدارات مجاري الأودية على شكل شبه منحدر أقل تقعرًا، وذلك لأنها لا تزال تمر بمرحلة الشباب، ولن تكتمل بها الدورة التحاتية، وسيادة ظروف الجفاف بالمنطقة.
- وتعد العلاقة طردية بين شدة انحدار سطح الحوض وسرعة الجريان السطحي على حساب معدلات الفاقد (معهد بحوث الصحراء، القاهرة، ٢٠١٥).
- ومن تحليل الجدول رقم (١١) يتبين أن معدلات انحدارات سطح الأحواض التصريفية في متوسطها نحو ٠,٠١٥، هو معدل ضعيف جدًا لا يساهم أو يؤدي بدرجة كبيرة لإمكانية السيول المدمرة نظرًا لبطء الجريان.

٢- الخصائص المساحية والشكلية لأحواض المجاري التصريفية للأودية الجافة

أ- نسبة الاستطالة

ويحسب معدل الاستطالة على أساس قسمة طول قطر الدائرة التي تكافئ مساحتها مساحة حوض النهر على أقصى طول للحوض بالكيلومتر ويحسب المعدل كالتالي:-

$$\text{نسبة استطالة الحوض} = \frac{\text{طول قطر الدائرة التي تكافئ مساحتها مساحة حوض النهر (كم)}}{\text{أقصى طول للحوض (كم)}}$$

(Schumm,S.,1956,p.595)

جيومورفولوجية أودية المنطقة المحصورة ما بين رأس علم الروم شرقاً وصولاً لرأس جرجوب غرباً

وكلما اقترب الناتج من الصفر دل على أن الحوض أقرب إلى الشكل المستطيل، وبهذا ترتفع نسبة الاستطالة في الأحواض ذات الامتداد الطولي، في حيث تقل هذه النسبة كلما ابتعد شكل الحوض عن الشكل المستطيل، ومن تحليل الجدول رقم (١٢) يتبين الآتي:-

- يصل المتوسط العام لنسب استطالة الأحواض التصريفية للأودية المدروسة نحو ٠,٤٩، حيث تتباين قيم الاستطالة في مدى إحصائي قدره (٠,٣٠)، وأدنى هذه القيم ٠,٣٦، لوادي المدور بمنطقة القصر، وأقصاها ٠,٦٦، لوادي الحابس بمنطقة أم الرخم.
- تنخفض نسبة الاستطالة عن المتوسط العام لتصل إلى (٠,٤٧، ٠,٣٦، ٠,٣٧) لأودية الرمل، المدور، وسنب.
- بينما تزيد نسبة الاستطالة عن المتوسط العام لتصل إلى (٠,٥٦، ٠,٥٦، ٠,٦٦، ٠,٤٩، ٠,٥) لأودية ماجد، الوشبكة، الحابس، أم آشطان ومنجور.
- تتطابق نسبة الاستطالة لوادي الوشبكة مع المتوسط العام الذي يصل إلى ٠,٤٩.
- العلاقة طردية بين النحت الرأسي للنهر والاستطالة، حيث تشير انخفاض نسبة الاستطالة إلى ضعف النحت الرأسي والتراجع الخلفي، بينما تشير قوة النحت الرأسي والتراجع الخلفي في النسب المرتفعة التي تقترب من الصفر لأن معظم الأحواض تميل إلى الاستطالة، وبالتالي تقلل من قوة تركيز السيل، وبالتالي إلى ضعف الجريان، وكما أن جميع أودية الدراسة تميل للاستطالة، ولهذا لا يمثل الجريان في منطقة الدراسة أي خطورة بالأودية.

ب- نسبة الاستدارة

يقصد بها مقارنة شكل الحوض بالشكل الدائري، فإذا اقترب الناتج من الواحد صحيح دل ذلك على استدارة الحوض، وتشير القيم المرتفعة إلى تقدم الحوض في دورته التحتية وسيادة عمليات النحت الرأسي في مجاريها، إذ أن المجاري المائية تميل إلى صغر مجاريها وتعميقها قبل أن تلجأ إلى توسيعها، وتؤثر أيضاً على مدة تجمع المياه من الروافد إلى المجرى الرئيسي ومدى خطورة الفيضان، ويتم حساب هذا المعدل من المعادلة الآتية:-

مساحة الحوض كم^٢

استدارة الحوض = $\frac{\text{مساحة الدائرة التي يبلغ طول محيطها محيط الحوض كم}^2}{\text{مساحة الحوض كم}^2}$ (Miller,1953,p.60)

ومن تحليل الجدول رقم (١٢) الذي يوضح الخصائص الشكلية والمساحية يتبين الآتي:-

- يصل المتوسط العام لنسب استدارة أطوال التصريف للأودية المدروسة نحو ٠,٣٨، وتتباين قيم الاستدارة في مدى إحصائي قدره ٠,٧٣، وأدنى هذه القيم ٠,١١، لوادي المدور بمنطقة القصر، وأقصاها ٠,٨٤، لوادي منجور بمنطقة رأس أبو لاهو.

- تنخفض نسبة استدارة الأحواض عن المتوسط العام لتصل إلى (٠,١٢، ٠,١١، ٠,١٥، ٠,٢١) لأودية الرمل، المدور، ماجد، وسنب.

- ترتفع استدارة الأحواض عن المتوسط العام لتصل إلى (٠,٤٥، ٠,٧٥، ٠,٤٦، ٠,٨٤) لأودية الوشبكة، الحابس، أم آشطان، ومنجور، وبهذا فإن أحواض أودية (الحابس، منجور) تقترب من الشكل الدائري أكثر من غيرها وبالتالي يزداد بها احتمالية حدوث السيول.

ج- معاملات أشكال أحواض التصريف

إذا اختلف الشكل العام للحوض النهري عن كل من شكل المستطيل أو شكل الدائرة فيمكن في هذه الحالة حساب ما يعرف باسم معامل شكل الحوض النهري، حيث تشير القيم المنخفضة إلى تقارب شكل الحوض النهري من المثلث، كما تشير القيم المرتفعة لهذا المعدل إلى ارتفاع قيمة بسط المساحة الحوضية على حساب مقامها (الطول الحوضي)، وبالتالي تقارب شكل الحوض من الشكل المربع (محمود عاشور، ١٩٩١، ص ٣٣٩).

ويتم الحصول على معامل شكل الحوض بقسمة مساحة الحوض على مربع طول الحوض وذلك من المعادلة الآتية:-

$$\text{معامل شكل الحوض} = \frac{\text{مساحة الحوض كم}^2}{\text{مربع طول الحوض كم}^2} \quad \text{(Horton, 1945, p.p270-27)}$$

ومن تحليل الجدول رقم (١٢) الذي يوضح القياسات الشكلية لأحواض التصريف بمنطقة الدراسة يتبين الآتي:-

- يبلغ المتوسط العام لمعامل شكل الأحواض التصريفية حوالي ٠,٢٠، ويصل الحد الأدنى لقيم المعامل نحو ٠,١٠ بوادي المدور، بينما يصل الحد الأقصى نحو ٠,٣٤ بوادي الحابس، بفارق إحصائي كبير يصل إلى ٠,٢٤.

- تشير القيم المنخفضة في أودية منطقة الدراسة إلى اتساع أحواضها عند منابعها وضيقها عند مصباتها، وبالتالي تميل أحواض المنطقة إلى اتخاذ الشكل المثلثي أو المروحي فتتجه رؤوسها صوب مصباتها، وشكل الحوض له علاقة قوية بحجم ونسبة الجريان السيلي بالمنطقة، فالأحواض المستديرة أو التي تميل إلى الاستدارة تتجمع فيها مصبات غالبية الروافد في منطقة واحدة مركزية، ومع حدوث جريان في تلك الروافد فإن الجريان يصل غالباً إلى هذه المنطقة المركزية في وقت واحد تقريباً، ولهذا يكون مركزاً وقوياً، في حين تتصل الروافد بأحواض التصريف المستطيلة بالوادي الرئيسي إلى كلا الجانبين على مساحات متباعدة فتكون قمة الجريان ضعيفة وغير حادة.

(أحمد سالم صالح، ١٩٨٩، ص ٣٥)

جدول رقم (١٠) معدلات التكرار النهري لأحواض الأودية الجافة بمنطقة الدراسة

جدول رقم (١١) انحدارات رتب المجاري المائية بمنطقة الدراسة

| رتبة خامسة | رتبة رابعة | رتبة ثالثة | رتبة ثانية | رتبة أولى | المنطقة | الوادي | التكرار النهري | إجمالي عدد المجاري المائية (كم) | مساحة الحوض (كم ^٢) | الوادي |
|---------------|---------------|---------------|---------------|--------------|-----------|----------|----------------|---------------------------------|--------------------------------|----------|
| - | ٠.٠٠٥ | ٠.٠١٣ | ٠.٠٢٧ | ٠.٠٥٧ | شرق مطروح | الرمل | ٣.٥ | ٧٦ | ٢١.٧ | الرمل |
| - | - | ٠.٠٠٩ | ٠.٠٣٥ | ٠.٠٥١ | القصر | المدور | ٢.٨ | ٣٦ | ١٢.٧ | المدور |
| - | ٠.٠٠٧ | ٠.٠١١ | ٠.٠٣١ | ٠.٠٧٩ | القصر | ماجد | ٢.٩ | ٣٨ | ١٢.٨ | ماجد |
| - | ٠.٠١٢ | ٠.٠١٥ | ٠.٠٢٨ | ٠.٠٤٣ | القصر | الوشيكه | ٥.٧ | ٣٧ | ٦.٤ | الوشيكه |
| - | ٠.٠١٠ | ٠.٠١٧ | ٠.٠٤٠ | ٠.١٢ | القصر | سنب | ٤.١ | ٢٨ | ٦.٧ | سنب |
| ٠.٠٠٧ | ٠.٠١ | ٠.٠٣ | ٠.٠١٢ | ٠.٠٩ | أم الرخم | أم أشطان | ١٤.٤ | ٢٤٠ | ١٦.٦ | أم أشطان |
| - | - | ٠.٠٢ | ٠.٠٨ | ٠.٠٣ | أم الرخم | الحابس | ١١.٧ | ٤٠ | ٣.٤ | الحابس |
| - | ٠.٠١ | ٠.٠٢ | ٠.٠٣ | ٠.٠٧ | أبو لاهو | منجور | ١٥.٤ | ٦٥ | ٤.٢ | منجور |
| ٠.٠٠٠٨ | ٠.٠٠٧ | ٠.٠١٦ | ٠.٠٣٥ | ٠.٠٦٧ | المتوسط | المتوسط | ٦.٦٦ | ٧٠ | ١٠.٥ | المتوسط |

من حساب الباحث والبيانات مصدرها خرائط الموزايك مقياس رسم ١:٦٠٠٠٠٠

جدول رقم (١٢) الخصائص الشكلية لأحواض التصريف

| معامل شكل الحوض | مربع طول الحوض (كم) | نسبة الإستدارة | مساحة الدائرة التي لها نفس محيط الحوض (كم ^٢) | مساحة الحوض (كم ^٢) | نسبة الإستطالة | أقصى طول للحوض (كم) | قطر الدائرة المكافئ لمساحة الحوض (كم ^٢) | الحوض |
|-----------------------|------------------------------|-------------------|---|--------------------------------------|-------------------|------------------------------|---|------------------|
| ٠.١٧ | ١٢١.٠ | ٠.١٢ | ١٧٧.٥ | ٢١.٧ | ٠.٤٧ | ١١.٠ | ٥.٢ | الرمل |
| ٠.١٠ | ١٢١.٠ | ٠.١١ | ١٠٨.٨ | ١٢.٧ | ٠.٣٦ | ١١.٠ | ٤.٠ | المدور |
| ٠.١٩ | ٦٤.٠ | ٠.١٥ | ٨١.٤ | ١٢.٨ | ٠.٥ | ٨.٠ | ٤.٠ | ماجد |
| ٠.١٩ | ٣٢.٤ | ٠.٤٥ | ١٤.٠ | ٦.٤ | ٠.٤٩ | ٥.٧ | ٢.٨ | الوشيكه |
| ٠.١٣ | ٤٩.٠ | ٠.٢١ | ٣١.٥ | ٦.٧ | ٠.٣٧ | ٧.٠ | ٢.٦ | سنب |
| ٠.٢٤ | ٦٧.٢ | ٠.٤٦ | ٣٥.٦٦ | ١٦.٦ | ٠.٥٦ | ٨.٢ | ٤.٦ | أم أشطان |
| ٠.٣٤ | ٩.٩ | ٠.٧٥ | ٤.٥ | ٣.٤ | ٠.٦٦ | ٣.١٥ | ٢.١ | الحابس |
| ٠.٢٧ | ١٥.٢ | ٠.٨٤ | ٥.٠ | ٤.٢ | ٠.٥٦ | ٣.٩ | ٢.٢ | منجور |
| ٠.٢٠ | | ٠.٣٨ | | | ٠.٤٩ | | | المتوسط العام |

صلاح حسن محمد أحمد

٣- الخصائص التضاريسية

أ- معدل التضرس

يتم حساب معدل التضرس من القانون التالي

$$\text{معدل التضرس} = \frac{\text{تضاريس الحوض (م)}}{\text{طول الحوض (كم)}}$$

(S, Schumm., 1956, p. 612)

ومن تحليل الجدول رقم (١٣) الذي يوضح تضاريس أحواض الأودية يتبين الآتي:-

- يبلغ المعدل العام لنسبة التضرس ١٧م/كم، وتتفاوت هذه النسبة بين ٢٦,٩م/كم لوادي الحابس - ١٠,٩م/كم لوادي الرمل، أي بفارق إحصائي يبلغ نحو ١٦,٩م/كم.

- ويمكن تصنيف معدل التضرس للأحواض التصريفية بمنطقة الدراسة إلى فئتين وهي:-

١- الفئة الأولى (شديدة التضرس تزيد عن ٢٠م/كم)، وتقع في هذه المجموعة أحواض أودية (الوشيك، الحابس، منجور) ويصل معدل التضرس نحو ٢٠,١، ٢٦,٩، ٢١,٠ متر/كم على التوالي.

٢- الفئة الثانية (متوسطة التضرس من ١٠م/كم - لأقل من ٢٠م/كم)، تقع في هذه المجموعة أحواض أودية (الرمل، المدور، ماجد، أم آشطان، سنبل)، ويصل معدل التضرس نحو ١٠,٩، ١١,٨، ١٥,٠، ١٤,٢، ١٦,٤٢م/كم على الترتيب.

وبصفة عامة فإن التباين في معدل التضرس بين الأحواض المدروسة يعتبر محدودًا جدًا، إذ يبلغ المدى الإحصائي لها نحو ١٦,٩م/كم، وذلك للتشابه الكبير في التراكمات الصخرية التي تتكون فوقها هذه الأودية والتي تتألف من تكوينات جيرية ميوسينية وبلايوستوسينية.

ب- قيمة الوعورة

يعد من أهم المقاييس المورفومترية التي تعالج العلاقة التبادلية المركبة بين أكثر من متغيرين، فهو يقيس العلاقة بين كل من التضرس الحوضي وأطوال المجاري والمساحة الحوضية.

ويحسب هذا المعامل من القانون التالي:-

$$\text{قيمة الوعورة} = \frac{\text{التضاريس الحوضية} \times \text{الكثافة التصريفية بالكم/كم}^2}{1000}$$

(A, Strahler., 1958, p. 287)

وبمراجعة الجدول رقم (١٣) يتبين أن المتوسط العام لقيمة الوعورة للأحواض التصريفية المدروسة يصل إلى ٣١,٠، وهذا مدلوله الجيومورفولوجي انخفاض قيمة الوعورة لمثل هذه الأحواض، ويصل الحد الأدنى لمعامل

جيومورفولوجية أودية المنطقة المحصورة ما بين رأس علم الروم شرقاً وصولاً لرأس جرجوب غرباً

الوعورة نحو ٠,١٥ لحوض وادي منجور، في حين يصل الحد الأقصى لنفس المعامل نحو ٠,٥١ لحوض وادي سنب، حيث تتباين قيم الوعورة في مدى إحصائي كبير يصل إلى ٠,٣٦. ومن خلال ما سبق يتبين أن أودية منطقة الدراسة ما زالت تمر بالمراحل الأولى من دورة التعرية، وذلك لنشاط النحت الرأسى لمجري هذه الأودية، وظهور قطاعاتها العرضية على شكل حرف (V) الصورة رقم (٨)، وتجدد الإشارة إلى أن انحدار قطاعات قيعان الأودية شديد الانحدار نظراً لقصورها مما يؤدي إلى سرعة حركة المياه من المنبع إلى المصب، وبعد هذه الدراسة يتضح أن احتمالية السيول بأودية منطقة الدراسة متوسطة، وذلك من خلال دراسة المتغيرات السابقة، حيث تعد متغيرات طول المجاري والمساحة الحوضية إيجابية فيما يختص بأودية أم آشطان والرمل، وباقي الأودية قد يتحقق بها متغير واحد أو لا يتحقق، نظراً لما قد تعانیه منطقة الدراسة من ظروف الجفاف.

جدول رقم (١٣) بيانات أحواض الأودية الجافة بمنطقة الدراسة

| السواحي | طول الحوض (كم) | مساحة الحوض (كم ^٢) | أعلي مستوى (م) | أدني مستوى (م) | معدل التضرس (م) | قيمة الوعور ة (م) | كثافة التصري ف (كم ^٢) | تضاريس الحوض (م) |
|----------|----------------|--------------------------------|----------------|----------------|-----------------|-------------------|-----------------------------------|------------------|
| الرمل | ١١,٠ | ٢١,٧ | ١٤٠,٠ | ٢٠,٠ | ١٠,٩٠ | ٠,٣٠ | ٢,٥ | ١٢٠,٠ |
| المدور | ١١,٠ | ١٢,٧ | ١٣٥,٠ | ٥,٠ | ١١,٨ | ٠,٣٣ | ٢,٦ | ١٣٠,٠ |
| ماجد | ٨,٠ | ١٢,٨ | ١٣٥,٠ | ١٥,٠ | ١٥,٠ | ٠,٣٩ | ٣,٣ | ١٢٠,٠ |
| الوشيكه | ٥,٧ | ٦,٤ | ١٢٥,٠ | ١٠,٠ | ٢٠,١ | ٠,٤١ | ٣,٦ | ١١٥,٠ |
| سنب | ٧,٠ | ٦,٧ | ١٢٠,٠ | ٥,٠ | ١٦,٤٢ | ٠,٥١ | ٤,٥ | ١١٥,٠ |
| أم آشطان | ٨,٢ | ١٦,٦ | ١٢٩,٠ | ١٢,٠ | ١٤,٢٦ | ٠,٢٨ | ٢,٤ | ١١٧,٠ |
| الحابس | ٣,١٥ | ٣,٤ | ٩٧,٠ | ١٢,٠ | ٢٦,٩ | ٠,١٨ | ٢,٢ | ٨٥,٠ |
| منجور | ٣,٩ | ٤,٢ | ٩٤,٠ | ١٢,٠ | ٢١,٠ | ٠,١٥ | ١,٩ | ٨٢,٠ |
| المتوسط | - | - | - | - | ١٧,٠ | ٠,٣١ | - | ١١٠,٥ |

ثالثاً: - الموازنة المائية

الموازنة المائية هي تطبيق رياضي كمي لدورة المياه، بهدف تقدير نسب المكسب والخسارة والفارق بينهما، وإيجاد الحلول والمقترحات المناسبة التي تخدم إقليم الدراسة.

وقد حُدد معامل الجريان السطحي بمنطقة الدراسة بحوالي ١٠٪ اعتماداً على تقرير المشروع الألماني لساحل مصر الشمالي الغربي. (Z.H.Milad, 1999, p.10)

ومن حساب الجدول رقم (١٤) نخرج بالجدول رقم (١٥)، حيث يتبين أن إجمالي المكسب المائي يقدر بحوالي ٦٢,٤٩ مليون م^٣/السنة، بنسبة ٣٦,٥٪، بينما إجمالي الخسارة المائية تقدر بحوالي ١٠٨,٧٦ مليون م^٣/السنة، بنسبة ٦٣,٥٪، وبهذا يصل إجمالي قيم العجز المائي للمنطقة حوالي -٤٦,٢٧ مليون م^٣/السنة، بنسبة -٢٧٪، أي أن المنطقة بكاملها تعد منطقة عجز مائي، ويفسر الباحث ذلك بمجموعة من الأسباب أهمها:-

- ارتفاع معدل التبخر بالمنطقة والذي يصل إلى ٨٦,٣٥ مليون م^٣/السنة بنسبة ٥٠,٤٪ من إجمالي الأمطار المتساقطة والتي تصل إلى ١٧١,٢٥ مليون م^٣/السنة.
- انخفاض نفاذية التربة الطينية والطينية وشدة انحدار الأودية صوب البحر لعدم وجود سدود ترابية على مجاري الأودية تعرقل الجريان.
- ندرة انتشار الغطاء النباتي في مناطق الأودية الجافة والتي لا تصل إلى البحر انظر للجدول أرقام (١٤)، (١٥).

جدول رقم (١٤) البيانات الهيدرولوجية لإقليم منطقة الدراسة

| التبخر م م ^٣ | المخزون الجوفي م م ^٣ /السنة | التسرب م م ^٣ /السنة | الجريان السطحي م م ^٣ /السنة | الأمطار السنوية م م ^٣ /السنة | مساحة المنطقة كم ^٢ |
|----------------------------|---|-----------------------------------|---|--|-------------------------------------|
| ٨٦,٣٥ | ٢٢,٥٥ | ٤٥,١٠ | ١٧,٢٥ | ١٧١,٢٥ | ١٧١٠ |

الجدول من حساب الباحث بالرجوع لقسم الهيدرولوجيا-معهد بحوث الصحراء-القاهرة، والبيانات

Western Desert Encyclopedia, Ministry of Public Works and Water Resources, Cairo, 1989, p.18

جدول رقم (١٥) الموازنة المائية لمنطقة مرسى مطروح

| الفارق | | الخسارة | | المكسب | | الأمطار السنوية م ^٣ | مساحة المنطقة كم ^٢ |
|-------------|-------------------------|-------------|-------------------------|-------------|-------------------------|-----------------------------------|-------------------------------------|
| النسبة ٪ | م م ^٣ /السنة | النسبة ٪ | م م ^٣ /السنة | النسبة ٪ | م م ^٣ /السنة | | |
| ٢٧- | ٤٦,٢٧- | ٦٣,٥ | ١٠٨,٧٦ | ٣٦,٥ | ٦٢,٤٩ | ١٧١,٢٥ | ١٧١٠ |

الجدول من حساب الباحث بالرجوع لقسم الهيدرولوجيا-معهد الصحراء-القاهرة، والبيانات مصدرها

Western Desert Encyclopedia, Ministry of Public Works and Water Resources, Cairo, 1989, p.18

وبتحليل معادلة الموازنة المائية والتي تنص على:-

$$S + E + R = P$$

P = Precipitation حجم التساقط على سطح الأرض

R = Run off حجم الجريان على سطح الأرض

E = التبخر الكلي Evaporation

S = المخزون الجوفي Storage

التساقط = الجريان الكلي + التبخر الكلي + المخزون الجوفي

الجريان الكلي = التساقط - التبخر (محمد الجنائني، ١٩٨٥، ص ٢٥)

وبتطبيق هذه المعادلة على المنطقة ومراجعة الجدول رقم (١٥) يتبين التالي:-

$$١- \text{التساقط (P)} = \text{الجريان (R)} + \text{التبخر الكلي (E)} + \text{المخزون الجوفي (S)}$$

$$١٧١,٢٥ = ٦٢,٣٥ + ٨٦,٣٥ + ٢٢,٥٥ \text{ مليون م}^٣/\text{السنة}$$

$$٢- \text{الجريان الكلي} = \text{التساقط} - \text{التبخر}$$

$$٨٤,٩ = ٨٦,٣٥ - ١٧١,٢٥ = \text{مليون م}^٣/\text{السنة}$$

$$\text{التسرب} = ٤٥,١٠ \text{ مليون م}^٣/\text{السنة}$$

وتنتهي المعادلة بالنسب التالية:-

التبخر الكلي ٥٠,٤٪، المخزون الجوفي ١٣,٢٪، الجريان ٣٦,٤٪، الجريان السطحي ١٠٪.

ومن خلال ما سبق يشير الباحث بالعلاقة الطردية بين كمية الأمطار المتساقطة بالمليون م^٣/السنة والجريان السطحي، وبالعلاقة العكسية بين معدل التبخر الكلي بالمليون م^٣/السنة والجريان، وبالعلاقة العكسية بين النفاذية ومعدل الجريان، ونظراً لأن كمية الأمطار المتساقطة قليلة لسيادة ظروف الجفاف وارتفاع معدل التبخر بالمنطقة، إذاً تكون جميع مناطق السهل الساحلي بالمنطقة يتفوق بها الفاقد المائي عن المكسب، وذلك بسبب ارتفاع معدل التبخر من ناحية وفقدان المياه في البحر من ناحية أخرى، ولهذا تعاني منطقة الدراسة عموماً من عجز مائي بسبب كثرة الفاقد وقلة التساقط معاً.

رابعاً:- التحليل الميكانيكي للرواسب:-

سيتم دراسة التحليل الميكانيكي للرواسب لتقدير حجم الجريان السطحي والتسرب معاً في رواسب بطون الأودية ومنطقة السهل الساحلي بمنطقة الدراسة.

رواسب بطون الأودية وعلاقتها بالجريان السطحي

في هذه الدراسة تم تحليل ٦٥ عينة رواسب بمعمل التربة بقسم الجغرافيا جامعة القاهرة، وأخذت العينات من بطون الأودية على عمق ١٠ - ٥٠ سم من الأجزاء العليا والوسطى والدنيا للأودية الجافة بمنطقة الدراسة، وقد تم تحديد العمق حتى ٥٠ سم وذلك لوجود تباين في قوام التربة.

من تحليل الجداول أرقام (١٦)، (١٧)، التي توضح التحليل الميكانيكي لعينات التربة المأخوذة من ١٥

وادي من رواسب بطون الأودية على النحو التالي:-

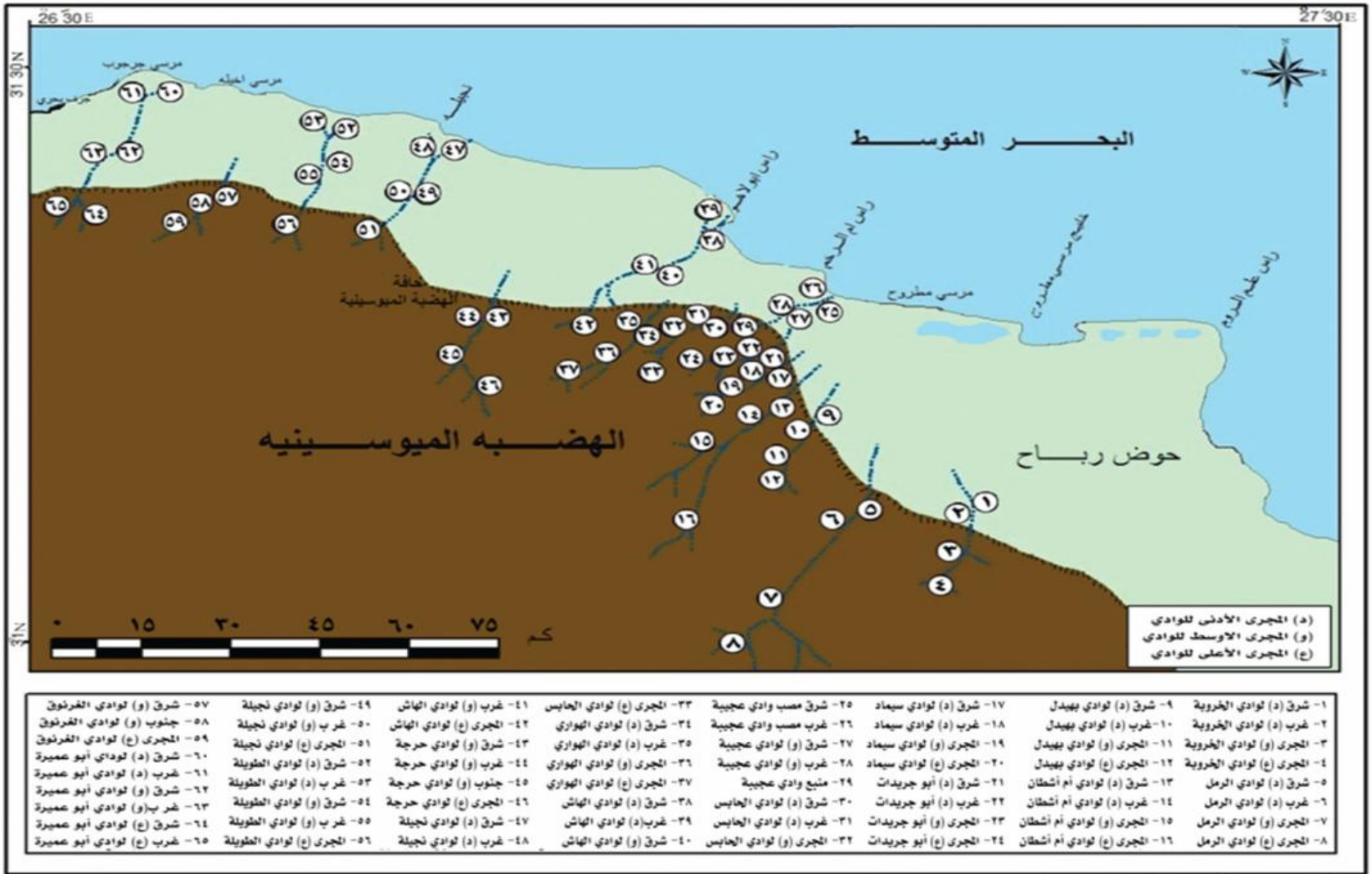
١- رواسب وادي الخروبة

يصل متوسط نسبة الغرين والطين إلى ٦٩,٩٪ لعينة الرواسب رقم (١) المأخوذة من شرق مجراه الأدنى، أي أن قوام الرواسب طيني، مما يترتب عليه جريان سطحي، أما العينة رقم (٢) المأخوذة من غرب مجراه الأدنى، فتصل نسبة مكوناتها الخشنة إلى ٤٦,٢٪، و ٤٧,٢٪ متوسط نسبة الغرين والطين، أي أن قوام الرواسب طيني رملي، ومدلول ذلك جريان وتسرب نسبي لرواسب العينة، أما العينة رقم (٣)، المأخوذة من مجراه الأوسط، يتبين أن متوسط نسبة الغرين والطين تصل إلى ٧٣,٥٪، منها ٢٦,١٪ غرين، و ٤٧,٤٪ طين، وهذا مدلوله أن قوامها طيني غريني، ومعنى ذلك حدوث الجريان السطحي، انظر للصورة رقم (٩).

أما العينة رقم (٤)، المأخوذة من مجراه الأعلى، فتصل نسبة الغرين والطين إلى ٧١,٢٪، منها ٥٧,٩٪ غرين، و ١٣,٣٪ طين، أي أن قوامها غريني، وهذا يعني حدوث الجريان السطحي في هذا الجزء الذي أخذت منه العينة، انظر للشكل رقم (٩).

٢- وادي الرمل

يتبين من تحليل العينة رقم (٥)، المأخوذة من شرق مجراه الأدنى أن نسب مكوناتها الخشنة تصل إلى ٤٠,٧٪، أما متوسط نسبة الغرين والطين فتصل إلى ٥٥,١٪، أي أن قوام الرواسب طيني رملي، مما يترتب عليه جريان سطحي، مع وجود تسرب بسيط في قطاع التربة، أما العينتان أرقام (٦)، (٧)، المأخوذتان من غرب مجراه الأدنى، ومن مجراه الأوسط، فتصل نسبة الغرين والطين إلى ٦٩,٩٪، و ٧٦,٥٪ على التوالي، وتتقارب نسب الغرين والطين للعينتين، حيث تصل نسبة الغرين إلى (٣٠,١٪، ٣٨,٩٪)، بينما نسبة الطين فتصل إلى (٣٩,٨٪، ٣٧,٦٪) للعينتين على الترتيب، أي أن قوام الرواسب طيني غريني، مما يعني حدوث الجريان السطحي في هذه الأجزاء التي أخذت منهما العينتان، أما العينة رقم (٨)، المأخوذة من مجراه الأعلى،



شكل رقم (٩) مواقع عينات رواسب بطون أودية منطقة الدراسة من عمق (١٠ - ٥٠ سم)

فتصل نسبة مكوناتها الخشنة إلى ٤٣,٩٪، و٥٤,٩٪ نسبة الغرين والطين، وهذا مدلوله أن قوام الرواسب طيني رملي، معنى ذلك حدوث جريان وتسرب نسي عبر الرواسب المأخوذة منها العينة، انظر للشكل رقم (٩).

٣- وادي هيدل

تصل نسبة المكونات الخشنة للعينتين أرقام (٩)، (١٠)، المأخوذتين من شرق وغرب مجراه الأدنى إلى ٤٧,١٪، ٣٨,٨٪ على التوالي، و٥١,٤٪، ٥٦,٨٪ نسبة الغرين والطين على الترتيب، أي أن قوامهما طيني رملي، ويترتب عليه جريان سطحي وتسرب نسي لرواسب العينتين السابقتين، أما عينة رقم (١١)، المأخوذة من مجراه الأوسط، فيتبين أن متوسط نسبة الغرين والطين تصل إلى ٧٢٪، وبهذا ترتفع نسبة الطين بها لتصل إلى ٦٠,٨٪، ومعنى ذلك أن قوامها طيني، مما يترتب عليه حدوث الجريان السطحي، بينما العينة رقم (١٢)، المأخوذة من مجراه الأعلى لنفس الوادي، فيصل متوسط نسبة الغرين والطين إلى ٦٧,٨٪، (٣٩,٧٪) غرين، (٢٨,١٪) طين، أي أن قوامها غريني طيني، مما يترتب عليه حدوث الجريان السطحي.

٤- وادي أم آشطان

يتبين من تحليل الجداول أرقام (١٦)، (١٧)، أنه تتقارب نسب المكونات الخشنة للعينتين أرقام (١٣)، (١٥)، المأخوذتين من شرق مجراه الأدنى، ومجراه الأوسط، لتصل إلى ٣٨,٣٪، ٣٧٪ على التوالي، ويصل متوسط نسبة الغرين والطين إلى ٥٠,٣٪، ٥٨,٤٪ على الترتيب، أي أن قوامهما طيني رملي، مما ينتج عنهما جريان سطحي لرواسب العينة رقم (١٥)، وجريان وتسرب نسي للعينة رقم (١٣)، انظر للصورة رقم (١٠)، بينما يصل متوسط نسبة الغرين والطين للعينتين أرقام (١٤)، (١٦)، المأخوذتين من غرب مجراه الأدنى، ومجراه الأعلى إلى ٧٤,٢٪، ٨١٪ على التوالي، وترتفع نسبة الطين عن الغرين في العينتين لتصل إلى ٥٥,١٪، ٦٢,٥٪ على الترتيب، أي أن قوامهما طيني غريني، وهذا مدلوله حدوث الجريان السطحي برواسب العينتين السابقتين، انظر للشكل رقم (٩).

٥- وادي سيماد

تصل نسبة المكونات الخشنة للعينتين أرقام (١٧)، (١٨)، المأخوذتين من شرق وغرب مجراه الأدنى إلى ٤٥,٧٪، ٤١,٦٪ على التوالي، في حين يصل متوسط نسبة الغرين والطين إلى ٥٣,٥٪، ٥٦,٧٪ على الترتيب، أي أن قوامهما طيني رملي، وهذا مدلوله حدوث الجريان والتسرب النسي لمثل هاتين العينتين، بينما العينة رقم (١٩)، المأخوذة من مجراه الأوسط، فقد يصل متوسط نسبة الغرين والطين إلى ٦٩,٤٪، وتصل نسبة الغرين إلى ١٨٪، بينما تصل نسبة الطين إلى ٥١,٤٪، أي أن قوامها طيني غريني، وهذا مدلوله حدوث الجريان السطحي بالرواسب المأخوذة منها العينة، أما العينة رقم (٢٠)، المأخوذة من مجراه الأعلى فتصل نسبة

جيومورفولوجية أودية المنطقة المحصورة ما بين رأس علم الروم شرقاً وصولاً لرأس جرجوب غرباً

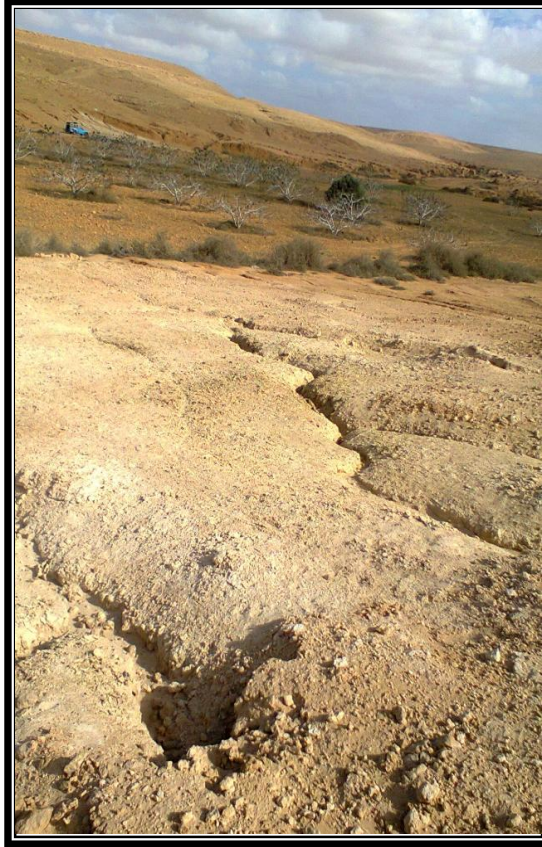
المكونات الخشنة إلى ٣٩,٣٪، أما نسبة الغرين والطين فتصل إلى ٥١,٨٪، أي أن قوامها طيني رملي، مما ينتج عنه حدوث الجريان السطحي والتسرب النسيبي، انظر للشكل رقم (٩).

٦- وادي أبو جريدات

تصل نسبة الغرين والطين للعينه رقم (٢١) المأخوذة من شرق مجراه الأدنى إلى ٨١,٩٪، وترتفع نسبة الغرين عن الطين لتصل إلى ٥١,١٪، أي أن قوام الرواسب غريني طيني، مما يترتب عليه جريان سطحي كثيف للرواسب المأخوذة منها العينه، أما العينتان أرقام (٢٢)، (٢٤)، المأخوذتان من غرب مجراه الأدنى ومجراه الأعلى، يتبين أن متوسط نسبة الغرين والطين تصل إلى ٧٠,٤٪، ٧٦٪ على التوالي، وتتقارب نسبة الغرين مع نسبة الطين للعينتين السابقتين، حيث تصل نسبة الغرين إلى ٢٩,٦٪، ٣٦,٧٪، في حين يصل متوسط نسبة الطين إلى ٤٠,٨٪، ٣٩,٣٪ على الترتيب، وهذا مدلوله أن قوام الرواسب طيني غريني، مما يؤدي لحدوث جريان سطحي، بينما العينه رقم (٢٣)، المأخوذة من مجراه الأوسط، فقد تصل نسبة مكوناتها الخشنة إلى ٤٠,٥٪، في حين تصل نسبة الغرين والطين إلى ٥٣,٢٪، وهذا معناه أن قوامها طيني رملي، مما يدل على حدوث تسرب وجريان نسيبي لرواسب مثل هذه العينه، الشكل رقم (٩).



صورة رقم (١٠) تسرب مياه الأمطار بالرواسب الفيضية بشرق المجرى الأدنى لوادي أم أشطان، لاحظ نمو أشجار التين البعلي برواسب الوادي



صورة رقم (٩) آثار الجريان السطحي بالمجرى الأوسط لوادي الخروبة، ناظراً صوب الشرق

٧- وادي عجيبة

يصل متوسط نسبة الغرين والطين للعينتين أرقام (٢٥)، (٢٩) المأخوذتين من شرق مصبه ومنبعه إلى ٣٧،٨٨٪، ١١،٩٦٪ على التوالي، وترتفع نسبة الطين عن الغرين لتصل إلى ١٨،٤٩٪، ٠١،٥٦٪ على الترتيب، أي أن قوامهما طيني غريني، مما ينتج عنهما جريان سطحي كثيف برواسب العينتين السابقتين، بينما العينات أرقام (٢٦)، (٢٧)، (٢٨)، المأخوذة من غرب مصبه، وشرق وغرب مجراه الأوسط، فقد تصل نسبة مكوناتها الخشنة إلى ٠٩،٤٠٪، ٥٩،٣٥٪، ٠٧،٤٤٪ على التوالي، في حين تصل نسبة الغرين والطين إلى ٩٩،٥٣٪، ٣٥،٦٢٪، ٩٣،٥١٪ على الترتيب، أي أن قوام الرواسب للعينتين أرقام (٢٦)، (٢٨)، طيني رملي، أما قوام رواسب العينة رقم (٢٧) فهو طيني، وهذا معناه إمكانية الجريان السطحي للعينة رقم (٢٧) أكبر من العينتين أرقام (٢٦)، (٢٨)، وإمكانية التسرب للعينتين (٢٦)، (٢٨) أكبر من إمكانية التسرب للعينة رقم (٢٧)، انظر للشكل رقم (٩).

٨- وادي الحابس

تصل نسبة الغرين والطين للعينتين أرقام (٣٠)، (٣٢) المأخوذتين من شرق مجراه الأدنى، ومجراه الأوسط إلى ١،٦٥٪، ٩٣،٨٧٪ على التوالي، وترتفع نسبة الطين عن الغرين لتصل إلى ١٠،٤٧٪، ٨،٥٢٪ على التوالي، أي أن قوام العينتين السابقتين طيني غريني، وهذا معناه حدوث جريان سطحي للعينتين مع وجود اختلاف في حجم الجريان، حيث يشتد الجريان في العينة رقم (٣٢) عن العينة رقم (٣٠)، أما العينة رقم (٣١)، المأخوذة من غرب مجراه الأدنى، فقد يصل متوسط نسبة المكونات الخشنة إلى ٣٤،٣٨٪، في حين تصل نسبة الغرين والطين إلى ٥٦،٥٩٪، وهذا معناه أن قوام الرواسب طيني، مما يدل على حدوث الجريان النسبي لمثل هذه العينة، بينما العينة رقم (٣٣)، المأخوذة من مجراه الأعلى، فقد يصل متوسط نسبة الغرين والطين إلى ١٥،٨٠٪، وترتفع نسبة الغرين عن الطين لتصل إلى ١٥،٤٣٪، أي أن قوامها غريني طيني، وهذا مؤشر لحدوث الجريان السطحي الكثيف للرواسب المأخوذة منها العينة، انظر للشكل رقم (٩).

٩- وادي الهواري

يصل متوسط نسبة الغرين والطين للعينتين أرقام (٣٤)، (٣٧)، المأخوذتين من شرق مجراه الأدنى، ومجراه الأعلى إلى ٢٨،٩٥٪، ٤٥،٩٨٪ على التوالي، وبهذا يرتفع ويتقارب متوسط نسبة الطين ليصل إلى ٨٠٪، ٣٤،٨٠٪ للعينتين السابقتين على الترتيب، أي أن قوامهما طيني، وهذا مؤشر لحدوث الجريان السطحي الكثيف، أما العينتان أرقام (٣٥)، (٣٦)، المأخوذتان من غرب مجراه الأدنى، ومجراه الأوسط فقد يصل متوسط نسبة الغرين والطين إلى ١٨،٨٣٪، ١٨،٧٥٪ على التوالي، كما ترتفع نسبة الطين أيضاً عن نسبة الغرين لتصل إلى ١٨،٥٧٪، ٣١،٤٨٪ على الترتيب، أي أن قوامهما طيني غريني، وهذا مدلوله حدوث الجريان السطحي لمثل هذه العينات، انظر للصورة رقم (١١) وللشكل رقم (٩).

جيومورفولوجية أودية المنطقة المحصورة ما بين رأس علم الروم شرقاً وصولاً لرأس جرجوب غرباً

وقد سجل الباحث من خلال الدراسة الميدانية سمك الرواسب الطينية بالرواسب الفيضية بمجره الأوسط، حيث يتبين أن متوسط سمكها حوالي متر ونصف، ومن عمق يتراوح من ١٦٠ سم إلى ١٧٥ سم، حيث تغطي طبقة الرواسب الطينية طبقة رقيقة من الحصى والجلاميد المتنوعة في أحجامها وأشكالها، ويتراوح متوسط سمكها حوالي ١٠ سنتيمترات إلى ٢٥ سنتيمتر تقريباً.

١٠- وادي الهاش

يصل متوسط نسبة الغرين والطين للعينتين أرقام (٣٨)، (٣٩)، المأخوذتين من شرق وغرب مجراه الأدنى إلى ٢٩ و ٩١٪، ٨٦ و ٨٢٪، وترتفع نسبة الغرين عن الطين في العينة رقم (٣٨) لتصل إلى ١٨ و ٥٢٪، في حين يرتفع متوسط نسبة الطين عن الغرين في العينة رقم (٣٩) ليصل إلى ٨٥ و ٥٢٪، وهذا معناه أن قوام العينة رقم (٣٨) غريني طيني، وقوام العينة رقم (٣٩) طيني غريني، وهذا مؤشر على حدوث الجريان السطحي الكثيف، وذلك لاحتكاك الرواسب ببعضها مع شدة الجريان، ويستفاد بجزء قليل جداً من مياه الجريان في الزراعة نظراً لوجود بعض السدود الترابية بمنطقة الدلتا، والجزء الأكبر ينتهي في البحر، أما العينة رقم (٤٠)، المأخوذة من شرق مجراه الأوسط، فتصل نسبة المكونات الخشنة إلى ٩٤ و ٤٦٪، كما تصل نسبة الغرين والطين إلى ٦٦ و ٥٢٪، أي أن قوامها طيني رملي، وذلك مما يؤهل لإحداث الجريان السطحي والتسرب النسبي معاً، بينما العينتان أرقام (٤١)، (٤٢)، المأخوذتان من غرب مجراه الأوسط ومجره الأعلى، فتصل نسبة المكونات الخشنة إلى ١٨ و ٣٩٪، ٧ و ٣١٪ على التوالي، كما تصل نسبة الغرين والطين إلى ٣ و ٦٠٪، ٤٣ و ٦٦٪، على الترتيب، أي أن قوامها طيني، مما يؤدي لحدوث الجريان السطحي، انظر للشكل رقم (٩).

١١- وادي حرجة

من تحليل العينة رقم (٤٣)، المأخوذة من شرق مجراه الأوسط، يتضح أن نسبة الطين تصل إلى ١٠٠٪، وبهذا فإن قوام الرواسب طيني، ومعنى ذلك حدوث جريان سطحي كثيف بشرق مجراه الأوسط، أما العينة رقم (٤٤)، المأخوذة من غرب مجراه الأوسط، يتبين أن متوسط نسبة مكوناتها الخشنة تصل إلى ٣٤ و ٤٥٪، بينما يصل متوسط نسبة الغرين والطين إلى ٨٩ و ٥١٪، أي أن قوامها طيني رملي، وينتج عنه الجريان والتسرب النسبي لرواسب العينة، انظر للصورة رقم (١٢)، أما العينة رقم (٤٥)، المأخوذة من جنوب مجراه الأوسط، فقد يصل متوسط نسبة الغرين والطين إلى ١٩ و ٧٢٪، منها (١٧ و ١٩٪) غرين، و (٥٥٪) طين، أي أن قوامها طيني غريني، وهذا مؤشر لإمكانية الجريان السطحي برواسب العينة، في حين العينة رقم (٤٦)، المأخوذة من مجراه الأعلى، يتبين أن متوسط نسبة مكوناتها الخشنة يصل إلى ٠٢ و ٣٧٪، في حين يصل متوسط نسبة الغرين والطين إلى ٥٩٪، أي أن قوامها طيني، مما يؤدي لإحداث الجريان السطحي، وبمقارنة نسب العينة السابقة مع نسبة العينة رقم (٤٥)، المأخوذة من جنوب مجراه الأوسط، يتبين أن نسبة الغرين والطين تصل إلى ١٩ و ٧٢٪ للعينة رقم (٤٥)، في حين تصل النسبة للعينة رقم (٤٦)، المأخوذة من مجراه الأعلى إلى ٥٩٪، أي أن معدل

الجريان بمنطقة المنبع يكون أقل قليلاً من منطقة جنوب مجراه الأوسط، ويفسر الباحث ذلك لاختلاف ظروف الترسيب، ولتماسك الرواسب جنوب مجراه الأوسط، وكذلك لتكون فرشاة من الرواسب الجيرية ذات الألوان البيضاء والصفراء والتي يصل سمكها حوالي ٢٠ سم بمنطقة المنبع، انظر للشكل رقم (٩).

١٢- وادي نجيلة

من تحليل العينتين أرقام (٤٧)، (٥١)، المأخوذتين من شرق مجراه الأدنى، ومجراه الأعلى، يتبين أن متوسط نسبة الغرين والطين قد تصل إلى ١٠٠٪، ٨٧،٥٩٪ على التوالي، أي أن قوامهما طيني Clayey، ومعنى ذلك حدوث جريان سطحي كثيف برواسب العينتين السابقتين.

بينما العينة رقم (٥٠)، المأخوذة من غرب مجراه الأوسط، يتبين أن نسبة مكوناتها الخشنة تصل إلى ٩٦،٤٨٪، ونسبة الغرين والطين تصل إلى ٥٨،٥٠٪، أي أن قوامها طيني رملي، مما ينتج عنه جريان وتسرب نسبي، أما العينتان أرقام (٤٨)، (٤٩)، المأخوذتان من غرب مجراه الأدنى، وشرق مجراه الأوسط، يتبين أن نسبة المكونات الخشنة تصل إلى ٣٨،٤٣٪، ٦٧،٣٩٪ على التوالي، ونسبة الغرين والطين تصل إلى ٥٦،٠٣٪، ٩٧،٥٧٪ على الترتيب، أي أن قوامهما طيني رملي، مما يؤهل ذلك لإحداث جريان سطحي، كذلك تسرب كميات متوسطة من مياه الأمطار عبر الرواسب للعينتين السابقتين، انظر للشكل رقم (٩)، وقد لاحظ الباحث مجموعة من السدود الترايية المقامة في غرب منطقة المصب، والتي يتعرض معظمها للتآكل بفعل جريان المياه.

١٣- وادي الطويلة

من تحليل العينتين أرقام (٥٢)، (٥٦)، المأخوذتين من شرق مجراه الأدنى، ومجراه الأعلى، يتبين أن متوسط نسب الغرين والطين تصل إلى ٩٦،١١٪، ٨١،٥٨٪ على التوالي، منها (٥٨،١١٪، ٥٠،٤٤٪) طين، و (٣٨٪، ٣١،١٤٪) غرين للعينتين على الترتيب، وهذا معناه أن قوامهما طيني غريني، مما يدل على كثافة الجريان السطحي، مع ملاحظة أن سمك الرواسب الطينية بمنطقة شرق مجراه الأدنى لا تتعدى ٧٠ سم (الدراسة الميدانية).

في حين تصل نسبة الغرين والطين للعينة رقم (٥٣)، المأخوذة من غرب مجراه الأدنى إلى ٨٣،٢٣٪، أي أن قوام الرواسب طيني، مما يؤدي لحدوث جريان سطحي كثيف، وتنتهي مياه الأمطار في البحر لعدم وجود السدود الترايية، ولقلة التسرب بمنطقة المصب، الصورة رقم (١٣).

أما العينتان أرقام (٥٤)، (٥٥)، المأخوذتان من شرق وغرب مجراه الأوسط، يتبين أن نسب مكوناتها الخشنة تصل إلى ٤٨،٠١٪، ٤٤،٠٥٪ على التوالي، في حين تصل نسبة الغرين والطين إلى ٥٠،٧٪، ٥٥،١٤٪ على الترتيب، أي أن قوامهما طيني رملي، ومعنى ذلك حدوث جريان وتسرب متوسط برواسب العينتين السابقتين، انظر للشكل رقم (٩).

١٤- وادي الغرنوق

تصل نسبة المكونات الخشنة للعينتين أرقام (٥٧)، (٥٨)، المأخوذتين من شرق وجنوب مجراه الأوسط إلى (٤٨،٣٦٪، ٤٧،٨١٪) على التوالي، في حين يصل متوسط نسبة الغرين والطين إلى (٥٠،٦٣٪، ٥٠،٢٪) على الترتيب، أي أن قوامهما طيني رملي، وهذا مدلوله حدوث الجريان السطحي والتسرب، أما العينة رقم (٥٩)، المأخوذة من مجراه الأعلى، فيصل متوسط نسبة الغرين والطين إلى ٧٦،١٥٪، منها (٣٠،١٤٪) غرين، و(٤٦،٠١٪) طين، أي أن قوامها طيني غريني، وهذا مدلوله حدوث الجريان السطحي، انظر للشكل رقم (٩).

١٥- وادي أبو عميرة

تصل نسبة المكونات الخشنة للعينة رقم (٦٠)، المأخوذة من شرق مجراه الأدنى إلى ٤٤،٠٢٪، ونسبة الغرين والطين تصل إلى ٥٤،٧٨٪، وترتفع نسبة الطين عن الغرين في هذه العينة لتصل إلى ٣٨،٧٨٪، أي أن قوامها طيني رملي، وهذا مدلوله حدوث جريان وتسرب متوسط برواسب العينة، أما العينتين أرقام (٦١)، (٦٤)، المأخوذتان من غرب مجراه الأدنى، وشرق مجراه الأعلى، يتبين أن متوسط نسبة الغرين والطين تصل إلى ١٠٠٪، ٨٧،٤٢٪، ومعنى ذلك أن قوامهما طيني، وهذا مؤشر لحدوث الجريان السطحي الكثيف برواسب العينتين السابقتين.

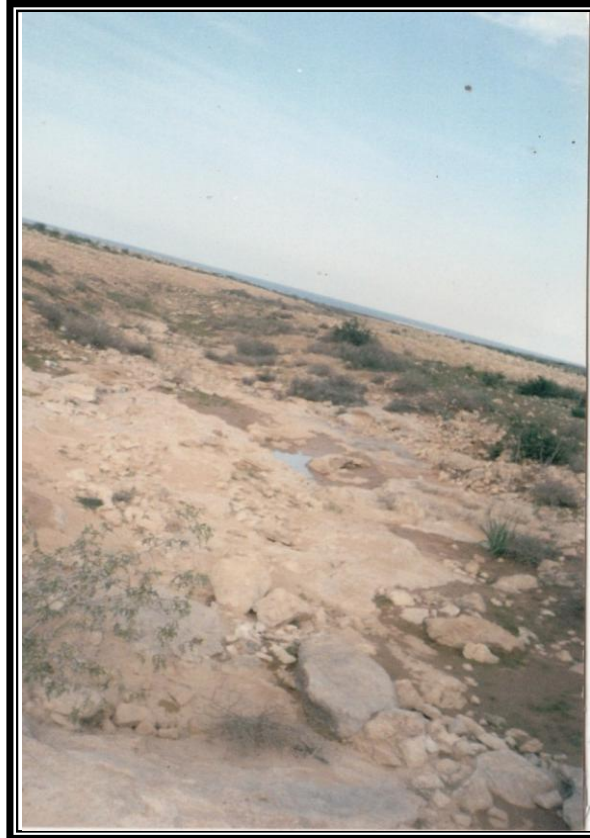
بينما العينات أرقام (٦٢)، (٦٣)، (٦٥)، المأخوذة من شرق وغرب مجراه الأوسط، وغرب مجراه الأعلى، يتبين أن متوسط نسبة الغرين والطين يصل إلى ٧٦،٤٤٪، ٧٢،٥٢٪، ٨٣،٧٥٪ على التوالي، وترتفع نسبة الطين عن الغرين لتصل إلى (٥٩،٢٨٪، ٥١،٥٣٪، ٥٩،٠٥٪) على الترتيب، أي أن قوام الرواسب للعينات السابقة طيني غريني، مما يدل على حدوث الجريان السطحي برواسب العينات السابقة، ويشند في العينة رقم (٦٥) وذلك لارتفاع نسبة الغرين والطين في العينة المأخوذة من غرب مجراه الأعلى، انظر للشكل رقم (٩).



صورة رقم (١٢) جريان وتخلل نسبي لمياه الأمطار بالرواسب الفيضية بغرب المجرى الأوسط لوادي حرجة، لاحظ نمو الحشائش والشجيرات، ورعي الأغنام لها، ونمو أشجار التين



صورة رقم (١١) آثار الجريان السطحي بالمجرى الأوسط لوادي الهواري، ناظراً صوب الجنوب



صورة رقم (١٣) آثار الجريان السطحي الكثيف بغرب المجرى الأدنى لوادي الطويلة، ناظراً صوب الشمال

جيومورفولوجية أودية المنطقة المحصورة ما بين رأس علم الروم شرقاً وصولاً لرأس جرجوب غرباً

وبهذا فإن قوام عينات الرواسب التي تم تحليلها تحليلًا ميكانيكيًا هي:-

- ٦ عينات من المجاري الدنيا للأودية الجافة قوامها طيني **Clayey**.
 - ٤ عينات من المجاري الوسطى للأودية الجافة قوامها طيني **Clayey**.
 - ٥ عينات من المجاري العليا للأودية الجافة قوامها طيني **Clayey**.
 - ١٠ عينات من المجاري الدنيا للأودية الجافة قوامها طيني رملي **Sand Clayey**.
 - ١١ عينة من المجاري الوسطى للأودية الجافة قوامها طيني رملي **Sand Clayey**.
 - عينتان من المجاري العليا للأودية الجافة قوامها طيني رملي **Sand Clayey**.
 - ٩ عينات من المجاري الدنيا للأودية الجافة قوامها طيني غريني **Clayey Silt**.
 - ٨ عينات من المجاري الوسطى للأودية الجافة قوامها طيني غريني **Clayey Silt**.
 - ٦ عينات من المجاري العليا للأودية الجافة قوامها طيني غريني **Clayey Silt**.
 - عينة من المجاري العليا للأودية الجافة قوامها غريني **Silty**.
 - عينة من المجاري الدنيا للأودية الجافة قوامها غريني طيني **Silty Clay**.
 - عينتان من المجاري العليا للأودية الجافة قوامها غريني طيني **Silty Clay**.
- إذًا مواقع عينات رواسب الأودية هي:-

- ٢٦ عينة مأخوذة من المجاري الدنيا للأودية الجافة بنسبة ٤٠٪ من إجمالي عدد عينات التربة.
 - ٢٣ عينة مأخوذة من المجاري الوسطى للأودية الجافة بنسبة ٣٥٪ من إجمالي عدد العينات.
 - ١٦ عينة مأخوذة من المجاري العليا للأودية الجافة بنسبة ٢٥٪ من إجمالي عدد العينات.
- إذًا ٢٣ عينة قوامها طيني غريني **Clayey Silt** ، بنسبة ٣٨،٣٥٪، و٢٣ عينة أخرى قوامها طيني رملي **Sand Clayey** ، بنسبة ٣٨،٣٥٪، ١٥ عينة قوامها طيني **Clayey** ، بنسبة ٢٣،١٪، ٣ عينات قوامها غريني طيني **Silty Clay** بنسبة ٤،٦١٪، وعينة قوامها غريني **Silty** تصل نسبتها ١،٥٣٪ من إجمالي عدد العينات.

وبعد الانتهاء من التحليل الميكانيكي لرواسب الأودية الجافة ودلتاواتها بمنطقة الدراسة يفسر الباحث التشابه والاختلاف في ميكانيكية الترسيب كما يلي:-

- ١- نظرًا لقلة المياه بالأودية (تصريف) واقتصارها على فصل واحد بالسنة (الشتاء)، تترسب أحياناً الرواسب الرديئة التصنيف ذات الجزيئات المختلفة الأحجام.

٢- عندما تجف هذه الرواسب المنقولة من الأودية، تقوم الرياح بنقل كميات كبيرة من الطين والغرين والرمل الصغير الحجم، ويترك خلفه متخلفات من الحصى الصغير (Pebbles)، والحصى الكبير (Cobbles)، والجلاميد (Boulders)، وقد يتسبب التدفق القادم من المياه في تآكل ونحت هذه الرواسب الخشنة.

٣- نتيجة للفترات الطويلة الجافة التي تسود الصحاري، تقوم الرياح بنقل حبيبات الرواسب الرديئة التصنيف، والتي تتراوح أحجامها من ٠,١ - ٣مليمتر، وترسبها في أماكن بعيدة في اتجاه هبوب الرياح مكونة الرواسب الرملية، وتكون جيدة التصنيف، وتترك الرياح خلفها الرواسب الخشنة ذات الحبيبات الكبيرة الحجم، مع بقاء الرواسب الناعمة عالقة في الهواء، وفي مرحلة أخرى تنقل الرواسب الناعمة وترسب معظمها مرة ثانية في الصحراء، معنى ذلك وجود علاقة طردية بين شدة الرياح وحجم الحبيبات المنقولة، آخذين في الاعتبار طرق النقل المختلفة التي تقوم بها الرياح، (محمد عثمان، ١٩٩٧، ص ١٧٠).

٤- لا تترسب الكميات الهائلة من الرواسب، والحصى، والزلط، وفتات الصخور المختلفة، من صخور المنايع العليا للوادي، بل تكون عادةً في حركة انتقال مستمرة صوب الأجزاء الوسطى والدنيا من الوادي.

٥- قوام عينات رواسب المنطقة هي (طينية- طينية رملية- طينية غرينية- غرينية- غرينية طينية)، (ولا يوجد بها رمال بخلاف المراوح الفيضية التي تكثر الرمال برواسبها)، وهذا مدلوله الجيومورفولوجي بأن ظاهرة الأودية الجافة في منطقة الدراسة ظاهرة حفزية Fossil feature، أي أنها نشأت في فترات سابقة وما زالت تحتفظ ببصمات الماضي، وهذا ما يؤكد الحقيقة الجيومورفولوجية وهي الحاضر مفتاح الماضي The present is the key to the past، وتعد منطقة الدراسة إقليمًا شبه جاف، وتقدر كمية الأمطار المتساقطة حوالي (١٣٨ ملم)، وهذه الكمية القليلة من الأمطار لا تكفي لتكون الأودية، في حين تكون الأخوار والمسيلات.

جدول رقم (١٦)

التحليل الميكانيكي لعينات رواسب بطون أودية منطقة الدراسة من عمق (١٠-٥٠سم)

| الرقم | موقع العينة | حصى خشن | حصى | رمل خشن جداً | رمل خشن | رمل متوسط الخشونة | رمل ناعم | غرين | طين |
|-------|----------------------------------|---------|------|--------------|---------|-------------------|----------|------|------|
| | | % | % | % | % | % | % | % | % |
| ١ | شرق المجرى الأدنى لوادي الخروبة | ٢,١ | ٣,٠ | ٧,١ | ١٢,٠ | ٢,٩ | ٣,٠ | ١٤,٨ | ٥٥,١ |
| ٢ | غرب المجرى الأدنى لوادي الخروبة | ٨,٠ | ١٠,٧ | ٢٥,٠ | ٢,٥ | ٥,٨ | ٠,٨ | ٦,٩ | ٤٠,٣ |
| ٣ | المجرى الأوسط لوادي الخروبة | ٠,٥ | ٩,٢ | ١,٨ | ١١,٦ | ٢,١ | ١,٣ | ٢٦,١ | ٤٧,٤ |
| ٤ | المجرى الأعلى لوادي الخروبة | ٣,٠ | ٤,٦ | ٨,٣ | ٩,٠ | ١,٩ | ٢,٠ | ٥٧,٩ | ١٣,٣ |
| ٥ | شرق المجرى الأدنى لوادي الرمل | - | ٥,٠ | ٣٠,٠ | ٥,٧ | ١,١ | ٣,١ | ٥,٠ | ٥٠,١ |
| ٦ | غرب المجرى الأدنى لوادي الرمل | - | - | ٧,٤ | ١٩,١ | ٣,٠ | ٠,٦ | ٣٠,١ | ٣٩,٨ |
| ٧ | المجرى الأوسط لوادي الرمل | ١,٧ | ١,٤ | - | ١٠,٢ | ٧,٧ | ٢,٥ | ٣٨,٩ | ٣٧,٦ |
| ٨ | المجرى الأعلى لوادي الرمل | - | ٢,٥ | ١٨,٢ | ٢٣,٢ | ٠,٩ | ٠,٣ | ٣٩,٧ | ١٥,٢ |
| ٩ | شرق المجرى الأدنى لوادي بهيدل | - | ٧,١ | ٣٠,٢ | ٩,٨ | - | ١,٥ | ١٢,٣ | ٣٩,١ |
| ١٠ | غرب المجرى الأدنى لوادي بهيدل | - | ٦,٨ | ١٩,٧ | ١٢,٣ | ٢,١ | ٢,٣ | ٥,٨ | ٥١,٠ |
| ١١ | المجرى الأوسط لوادي بهيدل | - | ٥,٠ | ٧,٧ | ٦,١ | ٨,٥ | ٠,٧ | ١١,٢ | ٦٠,٨ |
| ١٢ | المجرى الأعلى لوادي بهيدل | - | ٣,٢ | ١٠,٤ | ١٧,٦ | - | ١,٠ | ٣٩,٧ | ٢٨,١ |
| ١٣ | شرق المجرى الأدنى لوادي أم أشطان | - | ٤,٠ | ٣٣,١ | ١,٢ | ٥,٤ | ٦,٠ | ٢٠,٢ | ٣٠,١ |
| ١٤ | غرب المجرى الأدنى لوادي أم أشطان | - | ٧,٩ | ٩,٥ | ٣,٤ | ٢,٢ | ٢,٨ | ١٩,١ | ٥٥,١ |
| ١٥ | المجرى الأوسط لوادي أم أشطان | - | ٥,٧ | ١٧,٤ | ١٣,٩ | ٣,٠ | ١,٦ | ١٧,٧ | ٤٠,٧ |
| ١٦ | المجرى الأعلى لوادي أم أشطان | - | ٢,٩ | ١,٨ | ٤,٢ | ٦,٦ | ٣,٥ | ١٨,٥ | ٦٢,٥ |
| ١٧ | شرق المجرى الأدنى لوادي سيماد | - | ١,٦ | ١٤,٠ | ٣٠,١ | ٠,٨ | - | ٢٠,٥ | ٣٣,٠ |
| ١٨ | غرب المجرى الأدنى لوادي سيماد | - | ٧,٣ | ١٩,١ | ١٥,٢ | ١,٧ | - | ٣٩,٦ | ١٧,١ |
| ١٩ | المجرى الأوسط لوادي سيماد | - | - | ١٧,٥ | ٦,٩ | ٥,٢ | ١,٠ | ١٨,٠ | ٥١,٤ |
| ٢٠ | المجرى الأعلى لوادي سيماد | - | ٣,٠ | ٢٠,٣ | ١٦,٠ | - | ٨,٩ | ٤٠,٢ | ١١,٦ |
| ٢١ | ق/المجرى الأدنى لوادي أبو جريدات | - | ٦,٦ | ٢,٦ | ٥,١ | ٢,٢ | ١,٦ | ٥١,١ | ٣٠,٨ |
| ٢٢ | غ/المجرى الأدنى لوادي أبو جريدات | - | ٤,٥ | ١٠,١ | ١٤,٠ | ١,٠ | - | ٢٩,٦ | ٤٠,٨ |

| | | | | | | | | | |
|-------|-------|------|------|-------|------|------|------|----|-------------------------------|
| ١٨,٠ | ٣٥,٢ | ١,٩ | ٤,٤ | ٨,٨ | ١٣,٢ | ١٨,٥ | - | ٢٣ | الجرى الأوسط لوادي أبو جريدات |
| ٣٩,٣ | ٣٦,٧ | - | - | ١١,١٩ | ٩,٣ | ٢,٧ | ٠,٨١ | ٢٤ | الجرى الأعلى لوادي أبو جريدات |
| ٤٩,١٨ | ٣٩,١٩ | ٠,٣ | ٠,١٠ | ١,٦٦ | ٨,١٣ | ١,٤٤ | - | ٢٥ | شرق مصب وادي عجبية |
| ٣١,٢٠ | ٢٢,٧٩ | ٢,١١ | ٣,٠ | ١٥,٢ | ٢٢,٦ | ٣,١ | - | ٢٦ | غرب مصب وادي عجبية |
| ٤٩,٥٥ | ١٢,٨ | ٠,٥ | ١,٥٦ | ١٨,٠ | ١٦,٩ | ٠,٦٩ | - | ٢٧ | شرق الجرى الأوسط لوادي عجبية |
| ٤٠,١٠ | ١١,٨٣ | ٠,٤٧ | ٢,٩ | ٢١,٤ | ١٩,١ | ٢,٩ | ١,٣٠ | ٢٨ | غرب الجرى الأوسط لوادي عجبية |
| ٥٦,٠١ | ٤٠,١٠ | ٠,١ | ٣,٠ | - | - | ٠,٧٩ | - | ٢٩ | منبع وادي عجبية |
| ٤٧,١٠ | ١٨,٠ | - | ٠,٦ | ١٣,٥١ | ١٨,٤ | ١,٦٢ | ٠,٧٧ | ٣٠ | شرق الجرى الأدنى لوادي الحابس |
| ٥١,١٩ | ٨,٣٧ | ٠,٣٦ | ١,٧٤ | ١٩,٠ | ١٨,٣ | ٠,٨٩ | ٠,١٥ | ٣١ | غرب الجرى الأدنى لوادي الحابس |
| ٥٢,٨ | ٣٥,١٣ | ٠,٥٧ | ٠,١٩ | ٦,٢٣ | ٢,٨١ | ٠,٤٧ | ١,٨٠ | ٣٢ | الجرى الأوسط لوادي الحابس |
| ٣٧,٠ | ٤٣,١٥ | ١,٠٦ | ١,٤٨ | ٠,٥٥ | ٧,٠١ | ٦,٧٥ | ٣,٠ | ٣٣ | الجرى الأعلى لوادي الحابس |

من تحليل الباحث بمعمل التربة، قسم الجغرافيا، جامعة القاهرة، فبراير

تابع الجدول رقم (١٦)

| الرقم | موقع العينة | حصى خشن | حصى | رمل خشن جداً | رمل خشن | رمل متوسط الخشونة | رمل ناعم | غرين | طين |
|-------|---------------------------------|---------|-------|--------------|---------|-------------------|----------|-------|-------|
| | | % | % | % | % | % | % | % | % |
| ٣٤ | شرق الجرى الأدنى لوادي الهواري | ٠,٦٧ | - | ٢,١٧ | ٠,٢٧ | ٠,٦٦ | ٠,٩٥ | ١٥,٢٨ | ٨٠,٠ |
| ٣٥ | غرب الجرى الأدنى لوادي الهواري | ٠,٢٢ | ٢,٠١ | ٥,٧ | ٨,٠١ | ٠,٥٨ | ٠,٣٠ | ٢٦,٠ | ٥٧,١٨ |
| ٣٦ | الجرى الأوسط لوادي الهواري | ٠,٣٦ | ١,٨٠ | ١٦,٥٨ | ٥,١٩ | ٠,٨٩ | - | ٢٦,٨٧ | ٤٨,٣١ |
| ٣٧ | الجرى الأعلى لوادي الهواري | - | - | - | - | ٠,٠٧ | ١,٤٨ | ١٨,١١ | ٨٠,٣٤ |
| ٣٨ | شرق الجرى الأدنى لوادي الهاش | ١,٠ | ٠,٣٧ | ٣,٦٠ | ٣,١٩ | ٠,٥٥ | - | ٥٢,١٨ | ٣٩,١١ |
| ٣٩ | غرب الجرى الأدنى لوادي الهاش | ٠,٧٠ | ٥,١١ | ٧,٣٠ | ١,٩٩ | ٢,٠٤ | - | ٣٠,٠١ | ٥٢,٨٥ |
| ٤٠ | شرق الجرى الأوسط لوادي الهاش | ١,٠١ | ١٨,١٣ | ١٠,٨٠ | ١٧,٠ | - | ٠,٤ | ١٩,١٩ | ٣٣,٤٧ |
| ٤١ | غرب الجرى الأوسط لوادي الهاش | ٣,١٤ | ٦,١٧ | ١١,٦٦ | ١٨,٢١ | ٠,٥٢ | - | ١٢,٨٥ | ٤٧,٤٥ |
| ٤٢ | الجرى الأعلى لوادي الهاش | ٢,٤٩ | ١٩,٠١ | ١,١٣ | ٩,٠٧ | ٠,١٨ | ١,٦٩ | ٩,٦٠ | ٥٦,٨٣ |
| ٤٣ | شرق الجرى الأوسط لوادي حرجة | - | - | - | - | - | - | ٢,٩٠ | ٩٧,١٠ |
| ٤٤ | غرب الجرى الأوسط لوادي حرجة | ٢,٠ | ٢١,٨١ | ١٠,٠ | ١١,٥٣ | ٢,٤٧ | ٠,٣٠ | ١٤,٠ | ٣٧,٨٩ |
| ٤٥ | جنوب الجرى الأوسط لوادي حرجة | ١,١٥ | ١,٦٣ | ١٣,٨٠ | ٦,٠١ | ٠,٥٩ | ٤,٦٣ | ١٧,١٩ | ٥٥,٠ |
| ٤٦ | الجرى الأعلى لوادي حرجة | - | ٧,١٢ | ١٦,٠ | ١٣,٩٠ | ١,٠٩ | ٢,٨٩ | ٣٩,٠١ | ١٩,٩٩ |
| ٤٧ | شرق الجرى الأدنى لوادي نخيلة | - | - | - | - | - | - | ١٠,٨٤ | ٨٩,١٦ |
| ٤٨ | غرب الجرى الأدنى لوادي نخيلة | ٠,٥٧ | ٢,٥٣ | ١٩,٠ | ٢١,٢٨ | ٠,٣٤ | ٠,٢٥ | ٢٩,٠ | ٢٧,٠٣ |
| ٤٩ | شرق الجرى الأوسط لوادي نخيلة | ٠,٤٨ | ٤,٠ | ١٧,٠٢ | ١٨,١٧ | ١,٨٩ | ٠,٤٧ | ٣٣,١٤ | ٢٤,٨٣ |
| ٥٠ | غرب الجرى الأوسط لوادي نخيلة | ١,١٣ | ١٠,٦١ | ٢٣,٠٩ | ١٤,١٣ | ٠,٢٧ | ٠,١٩ | ١٧,٩٧ | ٣٢,٦١ |
| ٥١ | الجرى الأعلى لوادي نخيلة | - | ١,٦٦ | ١٠,٧٥ | - | - | - | ٩,١٣ | ٧٨,٤٦ |
| ٥٢ | شرق الجرى الأدنى لوادي الطويلة | - | ٠,٤١ | ٢,١٨ | ٠,٧٤ | ٠,٥٦ | - | ٣٨,٠ | ٥٨,١١ |
| ٥٣ | غرب الجرى الأدنى لوادي الطويلة | ١,٠٦ | ٤,١١ | ٩,٢٧ | ١,٠١ | ٠,٥٤ | ٠,٧٨ | ١٤,٨٨ | ٦٨,٣٥ |
| ٥٤ | شرق الجرى الأوسط لوادي الطويلة | - | ١,٣١ | ١٨,٦ | ٢٨,١٠ | ٠,٩٧ | ٠,٣٢ | ٢٢,٠٩ | ٢٨,٦١ |
| ٥٥ | غرب الجرى الأوسط لوادي الطويلة | - | ٤,٠ | ٢٣,٩ | ١٦,١٥ | ٠,٣٥ | ٠,٤٦ | ٢٩,١٥ | ٢٥,٩٩ |
| ٥٦ | الجرى الأعلى لوادي الطويلة | - | ٣,٥ | ٩,٠ | ٤,٨١ | ١,١١ | - | ٣١,١٤ | ٥٠,٤٤ |
| ٥٧ | شرق الجرى الأوسط لوادي الغرنوق | - | - | ٣٧,١٩ | ١١,١٧ | ١,١٨ | ٠,٢٦ | ١٥,٠ | ٣٥,٢ |
| ٥٨ | ج/الجرى الأوسط لوادي الغرنوق | - | - | ٢١,٠ | ٢٦,٨١ | ٠,٩٩ | ٠,٥٧ | ٢١,١٩ | ٢٩,٤٤ |
| ٥٩ | الجرى الأعلى لوادي الغرنوق | - | ٠,٦٩ | ١١,٧٩ | ٩,٢١ | ٠,٢٧ | ١,٨٩ | ٣٠,١٤ | ٤٦,٠١ |
| ٦٠ | شرق الجرى الأدنى لوادي أبوعميرة | ٣,٩٠ | ١١,٠٦ | ٢٠,٠ | ٩,٠٦ | ٠,٢١ | ٠,٩٩ | ١٦,٠ | ٣٨,٧٨ |
| ٦١ | غرب الجرى الأدنى لوادي أبوعميرة | - | - | - | - | - | - | ٨,١٦ | ٩١,٨٤ |
| ٦٢ | شرق الجرى الأوسط لوادي أبوعميرة | - | ٥,٩١ | ٨,٢٩ | ٦,١١ | ١,٢٥ | ٢,٠ | ١٧,١٦ | ٥٩,٢٨ |
| ٦٣ | غرب الجرى الأوسط لوادي أبوعميرة | ١,٩٥ | ٩,٦٣ | ١٠,٨٤ | ٤,٦٩ | ٠,٣٧ | - | ٢٠,٩٩ | ٥١,٥٣ |
| ٦٤ | شرق الجرى الأعلى لوادي أبوعميرة | - | - | ٩,٠ | ٢,١٣ | ٠,٢٨ | ١,١٧ | ٢٠,٠٦ | ٦٧,٣٦ |
| ٦٥ | غرب الجرى الأعلى لوادي أبوعميرة | ١,٧٩ | ١,٥ | ٧,٠ | ٤,١٩ | ١,٠٨ | ٠,٦٩ | ٢٤,٧٠ | ٥٩,٠٥ |

من تحليل الباحث بمعمل التربة، قسم الجغرافيا، جامعة القاهرة، فبراير

جدول رقم (١٧)

نسب مكونات عينات رواسب بطون الأودية من عمق (١٠-٥٠سم)

| الرقم | موقع العينة | المكونات الحشنة % | رمل ناعم ومتوسط % | غرين وطنين % | القوام |
|-------|----------------------------------|-------------------|-------------------|--------------|------------|
| ١ | شرق الحجرى الأدنى لوادي الخروبة | ٢٤,٢ | ٥,٩ | ٦٩,٩ | طيني |
| ٢ | غرب الحجرى الأدنى لوادي الخروبة | ٤٦,٢ | ٦,٦ | ٤٧,٢ | طيني رملي |
| ٣ | الحجرى الأوسط لوادي الخروبة | ٢٣,١ | ٣,٤ | ٧٣,٥ | طيني غريني |
| ٤ | الحجرى الأعلى لوادي الخروبة | ٢٤,٩ | ٣,٩ | ٧١,٢ | غريني |
| ٥ | شرق الحجرى الأدنى لوادي الرمل | ٤٠,٧ | ٤,٢ | ٥٥,١ | طيني رملي |
| ٦ | غرب الحجرى الأدنى لوادي الرمل | ٢٦,٥ | ٣,٦ | ٦٩,٩ | طيني غريني |
| ٧ | الحجرى الأوسط لوادي الرمل | ١٣,٣ | ١٠,٢ | ٧٦,٥ | طيني غريني |
| ٨ | الحجرى الأعلى لوادي الرمل | ٤٣,٩ | ١,٢ | ٥٤,٩ | طيني رملي |
| ٩ | شرق الحجرى الأدنى لوادي بهيدل | ٤٧,١ | ١,٥ | ٥١,٤ | طيني رملي |
| ١٠ | غرب الحجرى الأدنى لوادي بهيدل | ٣٨,٨ | ٤,٤ | ٥٦,٨ | طيني رملي |
| ١١ | الحجرى الأوسط لوادي بهيدل | ١٨,٨ | ٩,٢ | ٧٢,٠ | طيني |
| ١٢ | الحجرى الأعلى لوادي بهيدل | ٣١,٢ | ١,٠ | ٦٧,٨ | غريني طيني |
| ١٣ | ق/ الحجرى الأدنى لوادي أم أشطان | ٣٨,٣ | ١١,٤ | ٥٠,٣ | طيني رملي |
| ١٤ | غرب الحجرى الأدنى لوادي أم أشطان | ٢٠,٨ | ٥,٠ | ٧٤,٢ | طيني غريني |
| ١٥ | الحجرى الأوسط لوادي أم أشطان | ٣٧,٠ | ٤,٦ | ٥٨,٤ | طيني رملي |
| ١٦ | الحجرى الأعلى لوادي أم أشطان | ٨,٩ | ١٠,١ | ٨١,٠ | طيني غريني |
| ١٧ | شرق الحجرى الأدنى لوادي سيماد | ٤٥,٧ | ٠,٨ | ٥٣,٥ | طيني رملي |
| ١٨ | غرب الحجرى الأدنى لوادي سيماد | ٤١,٦ | ١,٧ | ٥٦,٧ | طيني رملي |
| ١٩ | الحجرى الأوسط لوادي سيماد | ٢٤,٤ | ٦,٢ | ٦٩,٤ | طيني غريني |
| ٢٠ | الحجرى الأعلى لوادي سيماد | ٣٩,٣ | ٨,٩ | ٥١,٨ | طيني رملي |
| ٢١ | ق/الحجرى الأدنى لوادي أبو جريدات | ١٤,٣ | ٣,٨ | ٨١,٩ | غريني طيني |
| ٢٢ | غ/الحجرى الأدنى لوادي أبو جريدات | ٢٨,٦ | ١,٠ | ٧٠,٤ | طيني غريني |
| ٢٣ | الحجرى الأوسط لوادي أبو جريدات | ٤٠,٥ | ٦,٣ | ٥٣,٢ | طيني رملي |
| ٢٤ | الحجرى الأعلى لوادي أبو جريدات | ٢٤,٠ | - | ٧٦,٠ | طيني غريني |
| ٢٥ | شرق مصب وادي عجبية | ١١,٢٣ | ٠,٤ | ٨٨,٣٧ | طيني غريني |
| ٢٦ | غرب مصب وادي عجبية | ٤٠,٩ | ٥,١١ | ٥٣,٩٩ | طيني رملي |
| ٢٧ | شرق الحجرى الأوسط لوادي عجبية | ٣٥,٥٩ | ٢,٠٦ | ٦٢,٣٥ | طيني |
| ٢٨ | غرب الحجرى الأوسط لوادي عجبية | ٤٤,٧ | ٣,٣٧ | ٥١,٩٣ | طيني رملي |
| ٢٩ | منبع وادي عجبية | ٠,٧٩ | ٣,١ | ٩٦,١١ | طيني غريني |
| ٣٠ | شرق الحجرى الأدنى لوادي الحابس | ٣٤,٣ | ٠,٦ | ٦٥,١ | طيني غريني |
| ٣١ | غرب الحجرى الأدنى لوادي الحابس | ٣٨,٣٤ | ٢,١ | ٥٩,٥٦ | طيني |
| ٣٢ | الحجرى الأوسط لوادي الحابس | ١١,٣١ | ٠,٧٦ | ٨٧,٩٣ | طيني غريني |
| ٣٣ | الحجرى الأعلى لوادي الحابس | ١٧,٣١ | ٢,٥٤ | ٨٠,١٥ | غريني طيني |

الجدول من حساب الباحث، والبيانات مصدرها الجدول رقم (١٦)

تابع الجدول رقم (١٧)

| الرقم | موقع العينة | المكونات الخشنة % | رمل ناعم ومتوسط % | غرين وطين % | القوام |
|-------|----------------------------------|-------------------|-------------------|-------------|------------|
| ٣٤ | شرق الحجرى الأدنى لوادي الهواري | ٣,١١ | ١,٦١ | ٩٥,٢٨ | طيني |
| ٣٥ | غرب الحجرى الأدنى لوادي الهواري | ١٥,٩٤ | ٠,٨٨ | ٨٣,١٨ | طيني غريني |
| ٣٦ | الحجرى الأوسط لوادي الهواري | ٢٣,٩٣ | ٠,٨٩ | ٧٥,١٨ | طيني غريني |
| ٣٧ | الحجرى الأعلى لوادي الهواري | - | ١,٥٥ | ٩٨,٤٥ | طيني |
| ٣٨ | شرق الحجرى الأدنى لوادي الهاش | ٨,١٦ | ٠,٥٥ | ٩١,٢٩ | غريني طيني |
| ٣٩ | غرب الحجرى الأدنى لوادي الهاش | ١٥,١ | ٢,٠٤ | ٨٢,٨٦ | طيني غريني |
| ٤٠ | شرق الحجرى الأوسط لوادي الهاش | ٤٦,٩٤ | ٠,٤ | ٥٢,٦٦ | طيني رملي |
| ٤١ | غرب الحجرى الأوسط لوادي الهاش | ٣٩,١٨ | ٠,٥٢ | ٦٠,٣ | طيني |
| ٤٢ | الحجرى الأعلى لوادي الهاش | ٣١,٧ | ١,٨٧ | ٦٦,٤٣ | طيني |
| ٤٣ | شرق الحجرى الأوسط لوادي حرجة | - | - | ١٠٠,٠ | طيني |
| ٤٤ | غرب الحجرى الأوسط لوادي حرجة | ٤٥,٣٤ | ٢,٧٧ | ٥١,٨٩ | طيني رملي |
| ٤٥ | جنوب الحجرى الأوسط لوادي حرجة | ٢٢,٥٩ | ٥,٢٢ | ٧٢,١٩ | طيني غريني |
| ٤٦ | الحجرى الأعلى لوادي حرجة | ٣٧,٠٢ | ٣,٩٨ | ٥٩,٠ | طيني |
| ٤٧ | شرق الحجرى الأدنى لوادي نجيلة | - | - | ١٠٠,٠ | طيني |
| ٤٨ | غرب الحجرى الأدنى لوادي نجيلة | ٤٣,٣٨ | ٠,٥٩ | ٥٦,٠٣ | طيني رملي |
| ٤٩ | شرق الحجرى الأوسط لوادي نجيلة | ٣٩,٦٧ | ٢,٣٦ | ٥٧,٩٧ | طيني رملي |
| ٥٠ | غرب الحجرى الأوسط لوادي نجيلة | ٤٨,٩٦ | ٠,٤٦ | ٥٠,٥٨ | طيني رملي |
| ٥١ | الحجرى الأعلى لوادي نجيلة | ١٢,٤١ | - | ٨٧,٥٩ | طيني |
| ٥٢ | شرق الحجرى الأدنى لوادي الطويلة | ٣,٣٣ | ٠,٥٦ | ٩٦,١١ | طيني غريني |
| ٥٣ | غرب الحجرى الأدنى لوادي الطويلة | ١٥,٤٥ | ١,٣٢ | ٨٣,٢٣ | طيني |
| ٥٤ | شرق الحجرى الأوسط لوادي الطويلة | ٤٨,٠١ | ١,٢٩ | ٥٠,٧ | طيني رملي |
| ٥٥ | غرب الحجرى الأوسط لوادي الطويلة | ٤٤,٠٥ | ٠,٨١ | ٥٥,١٤ | طيني رملي |
| ٥٦ | الحجرى الأعلى لوادي الطويلة | ١٧,٣١ | ١,١١ | ٨١,٥٨ | طيني غريني |
| ٥٧ | ق/ الحجرى الأوسط لوادي الغرنوق | ٤٨,٣٦ | ١,٤٤ | ٥٠,٢ | طيني رملي |
| ٥٨ | ج/ الحجرى الأوسط لوادي الغرنوق | ٤٧,٨١ | ١,٥٦ | ٥٠,٦٣ | طيني رملي |
| ٥٩ | الحجرى الأعلى لوادي الغرنوق | ٢١,٦٩ | ٢,١٦ | ٧٦,١٥ | طيني غريني |
| ٦٠ | شرق الحجرى الأدنى لوادي أبوعميرة | ٤٤,٠٢ | ١,٢ | ٥٤,٧٨ | طيني رملي |
| ٦١ | غرب الحجرى الأدنى لوادي أبوعميرة | - | - | ١٠٠,٠ | طيني |
| ٦٢ | شرق الحجرى الأوسط لوادي أبوعميرة | ٢٠,٣١ | ٣,٢٥ | ٧٦,٤٤ | طيني غريني |
| ٦٣ | غرب الحجرى الأوسط لوادي أبوعميرة | ٢٧,١١ | ٠,٣٧ | ٧٢,٥٢ | طيني غريني |
| ٦٤ | شرق الحجرى الأعلى لوادي أبوعميرة | ١١,١٣ | ١,٤٥ | ٨٧,٤٢ | طيني |
| ٦٥ | غرب الحجرى الأعلى لوادي أبوعميرة | ١٤,٤٨ | ١,٧٧ | ٨٣,٧٥ | طيني غريني |

النتائج والتوصيات

تقع منطقة الدراسة بمحاذاة ساحل البحر المتوسط، وتبعد عن مدينة الإسكندرية حوالي ٣٠٠ كم، و٥٠٠ كم عن مدينة القاهرة، وتعد جزءاً لا يتجزأ من الصحراء الغربية، وبالتالي فهي تقع على هامش الإقليم الصحراوي، وفيما يلي نتائج الدراسة وهي:-

- يعد نظام بنية الطبقات الجيولوجية جزءاً لا يتجزأ من خصائص نظام البنية الجيولوجية لهضبة مرمريكا الميوسينية، وهي متناظرة الميل، ويتسم تركيبها بالبساطة وعدم التعقيد، وتميل طبقاتها بوجه عام نحو الشمال بمقدار يتراوح ما بين ٣-٧ درجات.
- تعد تكوينات عصر الميوسين أقدم التكوينات الجيولوجية بالمنطقة، حيث تكوينات مغره في الميوسين الأسفل، وتكوينات مرمريكا في الميوسين الأوسط، ويبلغ السمك الإجمالي لصخور الميوسين ٦٠ متراً، وهي تمثل مادة بناء الهضبة الميوسينية.
- تذبذبت كميات الأمطار من (٢٠٠ ملم) في البليوسين الأعلى إلى (٥٠٠ ملم) في البليو/بليوستوسين، إلى (٧٠٠ ملم) في البلايوستوسين الأسفل، إلى (٨٠٠ ملم) في البلايوستوسين الأعلى، ثم انخفضت مع نهاية الفترة إلى (٢٠٠ ملم) سنوياً.
- اتصف المناخ بالجفاف خلال عصر الهولوسين، فتميز بتراكم الرمال، والإرسابات الشاطئية والفيضية، وتكوين اللاجونات والسبخات، وتكونت القشور الجيرية الصلبة على سطح الحجر الجيري.
- تعد تكوينات الحجر الجيري البويضي Oolitic Limestone والمتكونة في عصر البلايوستوسين مخزوناً جوفياً لمياه الأمطار بالمنطقة، في حين تمثل الرواسب الشاطئية أحدث التكوينات الجيولوجية التي تحتوي على مياه تحت سطحية.
- يعد مناخ منطقة الدراسة مناخاً جافاً، ويصل متوسط مجموع الأمطار السنوية إلى ١٣٧,٧ ملم/السنة، وتساقط الأمطار بمنطقة الدراسة نتيجة الانخفاضات الإعصارية، ويعد فصل الشتاء هو قلب موسم المطر، وذلك لقوة الانخفاضات الجوية الكثيرة العدد والأقوى فعالية.
- لعبت العوامل المناخية دوراً هاماً في تشكيل سطح المنطقة، وخاصة الأودية الجافة وما يرتبط بها من ظاهرات.
- تقع المراوح الفيضية بالمنطقة عند أقدم الحافة الميوسينية، ولم تتكون في مرحلة واحدة، وانحصرت المرحلة الأولى لتكونها في البلايوستوسين الأوسط والأعلى، واكتمل نموها في عصر الهولوسين، أي أنها تكونت نتيجة فيضانات سيلية متتابة.
- ومن التحليل المورفومتري للأودية الجافة يتبين أن أودية منطقة الدراسة يسودها نشاط النحت الرأسي وظهور قطاعاتها العرضية على شكل حرف (V)، وعلى الرغم من ذلك فإن احتمالية الجريان بأودية

منطقة الدراسة ضعيف نظراً لارتفاع معدل التبخر بالمنطقة والذي يصل لحوالي ٥٠٪، كذلك لظروف الجفاف التي تعانيه منطقة الدراسة.

- يرتفع معدل الفاقد المائي عن معدل المكسب المائي بالمنطقة، حيث يصل إجمالي المكسب المائي حوالي ٦٢,٤٩ مليون م^٣/السنة، بنسبة ٣٦,٥٪، بينما إجمالي الخسارة المائية تقدر بحوالي ١٠٨,٧٦ مليون م^٣/السنة، بنسبة ٦٣,٥٪.
- يصل إجمالي قيم العجز المائي بالمنطقة حوالي -٤٦,٢٧ مليون م^٣/السنة، بنسبة -٢٧٪، أي أن المنطقة بكاملها عجز مائي.
- ترجع أسباب العجز المائي بالمنطقة لارتفاع نسب التبخر، وانخفاض نفاذية التربة، وشدة انحدار الأودية صوب البحر.
- مجموع حصاد المطر بالمنطقة ١٧١,٢٥ مليون م^٣/السنة، يفقد منه ٥٠,٤٪ بالتبخر الكلي Evaporation، وتصل نسبة المخزون الجوي Storage ١٣,٢٪، والجريان Run off ٣٦,٤٪، أما نسبة الجريان السطحي فتصل إلى ١٠٪.

التوصيات

- ١- إقامة السدود التعويقية لحجز مياه المطر وتغذية رواسب بطون الأودية، ومراعاة بناء السدود الخرسانية بمصببات الأودية الجافة بهدف الاستفادة من المياه الجارية شتاءً للزراعة بدلاً من أن تهدر في البحر.
- ٢- التوسع في إقامة أعمال حصاد المياه مثل السدود الترابية والحجرية، بهدف تجميع مياه السيول، ومنعها من الانتشار على مساحات كبيرة وضياعها بالتبخر، والاستفادة منها في الزراعة، وتغذية المخزون الجوي.
- ٣- الشحن الاصطناعي للمياه الجوفية بطريقة حياض الغمر، بهدف المحافظة على المياه الجوفية بزيادة المخزون وتعديل نوعيتها، ومكافحة تسرب مياه البحر بالخزان الساحلي.
- ٤- تشكيل لجنة من الخبراء الهيدرولوجيين والجغرافيين والجيومورفولوجيين بغرض إنشاء آبار لحقن المياه العذبة بالمنطقة الساحلية للتغذية الاصطناعية للخزان الجوفي، وقد يتم الحصول على المياه العذبة اللازمة لذلك من محطات التحلية بالمنطقة، كذلك التوسع في إنشاء محطات تحلية أخرى بغرض استخدامها للشرب للحد من ظروف الجفاف الصعبة التي تعاني منه المنطقة.
- ٥- البحث عن المياه الجوفية بالمنطقة مع مراعاة تقليل أعماق الآبار الجديدة، وتباعد مواقعها، والضح بمعدلات صغيرة، وبشكل دوري، وحفر آبار لضخ المياه المالحة وصرفها للبحر.
- ٦- حفر مجموعة من الآبار البيزومترية (آبار الرصد) لملاحظة مناسيب المياه الجوفية برواسب الأودية بمنطقة الدراسة.

- ٧- استخدام أساليب الري بالرش والتنقيط في زراعة المحاصيل خاصة الخضروات بدلاً من أسلوب الري بالغمر، حتى يتحقق أدنى مستوى من التبخر خلال اليوم.
- ٨- تطبيق نظام الري بالتنقيط لأشجار الفاكهة، والتوسع في إنتاج الخضروات تحت نظام الزراعات المحمية (الصوب). بمزارع مرسى مطروح بدلاً من نظام الري بالغمر.
- ٩- بناءً على التوصيات السابقة وتوفير مياه الأمطار والحفاظة عليها من الضياع لاستخدامها في الأغراض البشرية يجب تهجير عدد من السكان لهذه المنطقة لتعميرها والاستفادة من إمكاناتها الطبيعية، بالإضافة إلى العمل لتوطين أهل البدو بها في مراكز مستقرة.

المراجع

أولاً: - المراجع العربية

- ١- أحمد سالم صالح، الجريان السيلي في الصحاري المصرية، القاهرة ١٩٨٩.
- ٢- آمال إسماعيل شاور، جغرافية المياه العذبة، جامعة القاهرة، ٢٠٠٠.
- ٣- جودة حسنين جودة، معالم سطح الأرض، دار المعرفة الجامعية، الإسكندرية، ٢٠٠٣.
- ٤- حسن سيد أحمد أبو العينين، أصول الجيومورفولوجيا، دراسة الأشكال التضاريسية لسطح الأرض، مؤسسة دار الثقافة الجامعية، الإسكندرية، ١٩٩٥.
- ٥- شحاتة سيد أحمد طلبة، المطر في مصر، رسالة ماجستير، قسم الجغرافيا، كلية الآداب، جامعة القاهرة، ١٩٩١.
- ٦- كنيث والطن، ترجمة علي شاهين، الأراضي الجافة، الإسكندرية، ١٩٧٦.
- ٧- محمد الجنائني، الهيدرولوجيا وهندسة الري، دار الراتب الجامعية، الإسكندرية، ١٩٨٥.
- ٨- محمد صبري محسوب، صحراء مصر الغربية، دراسة في الجغرافيا الطبيعية، القاهرة، ١٩٩٢.
- ٩- محمد صفى الدين أبو العز، مورفولوجية الأراضي المصرية، دار النهضة العربية، القاهرة، ١٩٦٦.
- ١٠- محمد عبد الغني عثمان، أسس علم الرسوبيات، الرياض، ١٩٩٧.
- ١١- محمود محمد عاشور وآخرون، وسائل التحليل الجيومورفولوجي، الطبعة الأولى، الإسكندرية، ١٩٩١.
- ١٢- نبيل سيد إمبابي، حركة الكثبان الرملية الهلالية وأثرها على العمران والتعمير في منخفض واحات الخارجة، مجلة مركز بحوث الشرق الأوسط، العدد السادس، القاهرة، ١٩٧٩.

ثانياً: - المراجع الأجنبية

- 1- Climatological Normals for U.R.E up 1975.
- 2- El Sanussi, Y.,(1968), The Geology of Water And Soil Resources of Umm El Rakham Area Western Mediterranean Coastal Zone Egypt. M. Sc. Thesis Fac. Sci, Cairo Univ .
- 3- El Shazly, M. M., (1964), Geology, Pedology And Hydrogeology of Mersa Matruh area, Ph.D. Thesis, Fac. Sci, Cairo University .
- 4- El Shazly, M.M.,(1969), Report on The Geomorphology – Geology of Mersa Matruh Area, The Desert Institute, Cairo.
- 5- Horton, R.E., (1945), Erosional Development of streams and Drainage Basins, Hydrographical Approach to Quantitative Morphology. Geol. Soc. Amer., vol. 56 ,p290.
- 6- Korany, E.A., (1975), Studies on Petrology And Geochemistry of The Western Desert, The Desert Institute, Cairo .
- 7- Miller, A., (1953), the skin of the Earth, London.
- 8- Said,R.,1962,The Geology of Egypt EL Sevier Puple Co, Amsterdam,New Yourk
- 9- Schumm, S., (1956), Evolution of Drainage systems and slopes in Badland at Perth Amboy, New Jersey, Geol. Soc. Amer. Bull., Vol. 67, pp. 595-647.
- 10- Strahler, A., (1957), Physical Geography, John Wiley, New York .
- 11- Strahler, A., (1958), Dimensional Analysis Applied of fluviial Eroded Land-Forms, Geol. Soc. Amer., Bull. 69, p.287.

- 12- Western Desert Encyclopedia Ministry of Public Works and Water Resources, Cairo, 1989.
- 13- Zaki, M.H., (1999, Surface Run off of Mersa Matrouh un published, M.Sc. Thesis, Fac. Sci, The Desert Institute, Cairo .

ثالثاً: - الخرائط والصور الجوية

- ١- الخريطة الطبوغرافية لمنطقة مرسى مطروح مقياس رسم ١:١٠٠٠٠٠٠
- ٢- الخريطة الطبوغرافية لمنطقة أم الرخم مقياس رسم ١:١٠٠٠٠٠٠
- ٣- الخريطة الطبوغرافية لمنطقة القصر مقياس رسم ١:٢٥٠٠٠٠
- ٤- الخريطة الطبوغرافية لمنطقة نجيلة مقياس رسم ١:٢٥٠٠٠٠
- ٥- الخرائط الجيولوجية لمنطقة مرسى مطروح مقياس رسم ١:٢٥٠٠٠٠
- ٦- الصور الجوية لشمال الصحراء الغربية مقياس رسم ١:٦٠٠٠٠٠